

UNIVERSIDADE FEDERAL DO RIO GRANDE DO SUL
INSTITUTO DE INFORMÁTICA
PROGRAMA DE PÓS-GRADUAÇÃO EM COMPUTAÇÃO

CRISTIAN FERNANDO FLORES CASTAÑEDA

**Otimização Unroll and Jam através da
refatoração**

Dissertação apresentada como requisito parcial
para a obtenção do grau de
Mestre em Ciência da Computação

Prof. Dr. Nicolas Bruno Maillard
Orientador

Porto Alegre, Agosto de 2011

CIP – CATALOGAÇÃO NA PUBLICAÇÃO

Castañeda, Cristian Fernando Flores

Otimização Unroll and Jam através da refatoração / Cristian Fernando Flores Castañeda. – Porto Alegre: PPGC da UFRGS, 2011.

76 f.: il.

Dissertação (mestrado) – Universidade Federal do Rio Grande do Sul. Programa de Pós-Graduação em Computação, Porto Alegre, BR-RS, 2011. Orientador: Nicolas Bruno Maillard.

1. Otimização. 2. Unroll and Jam. 3. Refatoração. 4. Fortran. I. Maillard, Nicolas Bruno. II. Título.

UNIVERSIDADE FEDERAL DO RIO GRANDE DO SUL

Reitor: Prof. Carlos Alexandre Netto

Vice-Reitor: Prof. Rui Vicente Oppermann

Pró-Reitor de Pós-Graduação: Prof. Aldo Bolten Lucion

Diretor do Instituto de Informática: Prof. Flávio Rech Wagner

Coordenador do PPGC: Prof. Álvaro Freitas Moreira

Bibliotecária-chefe do Instituto de Informática: Beatriz Regina Bastos Haro

*“If I have seen farther than others,
it is because I stood on the shoulders of giants.”*

— SIR ISAAC NEWTON

AGRADECIMENTOS

Primeiramente gostaria de agradecer a Deus pela oportunidade que me proporcionou na realização deste mestrado. Também quero agradecer a minha família, especialmente meus pais Fernando e Marisol por todo o suporte prestado durante estes anos, e também as minhas irmãs Daniela e Leticia pelo respaldo e toda ajuda oferecida durante esta etapa. Também gostaria de agradecer a minha namorada Médelin por todo o apoio e companhia.

Gostaria também de agradecer ao meu orientador Nicolas Maillard pelo apoio e pela confiança na realização deste trabalho, e ao CNPq pela concessão da bolsa de estudos. Também gostaria de agradecer aos meus colegas de sala e de grupo que de alguma forma me auxiliaram durante todo este período de estudos e pesquisa.

SUMÁRIO

LISTA DE ABREVIATURAS E SIGLAS	7
LISTA DE FIGURAS	9
LISTA DE TABELAS	10
RESUMO	11
ABSTRACT	12
1 INTRODUÇÃO	13
1.1 Contexto e Motivação	13
1.2 Objetivos e Contribuição	14
1.3 Organização do Texto	15
2 REFATORAÇÃO	16
2.1 Conceitos	16
2.2 Breve Histórico	17
2.3 Estado da arte	17
2.4 Refatoração em HPC	19
2.5 Fortran	19
3 OTIMIZAÇÃO DE LAÇOS	21
3.1 Análise de dependência	21
3.2 Tipos de Otimizações	23
3.2.1 Loop Fusion	23
3.2.2 Loop Fission	23
3.2.3 Loop Unrolling	24
3.2.4 Loop Invariant Code Motion	24
3.2.5 Loop Unswitching	24
3.2.6 Loop Interchange	25
3.2.7 Loop Unroll and Jam	25
4 FERRAMENTAS PARA OTIMIZAÇÃO	28
4.1 GNU Compiler Collection	28
4.1.1 Breve Histórico	28
4.1.2 Arquitetura	28
4.1.3 Representação e Otimização de Laços	31
4.2 Photran	33

4.2.1	Breve Histórico	33
4.2.2	Recursos	34
4.2.3	Arquitetura	34
4.2.4	Abstract Syntax Tree	36
4.2.5	Virtual Program Graph	37
5	IMPLEMENTAÇÃO	39
5.1	Pré-validação	39
5.2	Manipulação	41
5.3	Pós-validação	41
5.4	Arquitetura	42
5.5	Usabilidade	43
6	AVALIAÇÃO DE DESEMPENHO	44
6.1	Metodologia Experimental	44
6.1.1	<i>Benchmarks</i>	44
6.1.2	Arquitetura	45
6.2	Resultados	45
6.2.1	Multiplicação de matrizes	45
6.2.2	Subrotina SGTSV da biblioteca Lapack v.1	48
6.2.3	Subrotina SGTSV da biblioteca Lapack v.2	50
6.3	Geração de código em Assembly	51
6.4	Análise dos resultados	52
7	CONCLUSÕES E TRABALHOS FUTUROS	53
	APÊNDICE	54
	ASSINATURAS	71
	REFERÊNCIAS	72

LISTA DE ABREVIATURAS E SIGLAS

AST	<i>Abstract Syntax Tree</i>
BLAS	<i>Basic Linear Algebra Subprograms</i>
BRAMS	<i>Brazilian Atmospheric Modeling System</i>
CDT	<i>C, C++ Development Tools</i>
CFG	<i>Control Flow Graph</i>
CPTEC	Centro de Previsão de Tempo e Estudos Climáticos
FSF	<i>Free Software Foundation</i>
GCC	<i>GNU Compiler Collection</i>
GPL	<i>General Public License</i>
GPPD	Grupo de Processamento Paralelo e Distribuído
GNU	<i>Gnome Not Unix</i>
HPC	<i>High Performance Computing</i>
IDE	<i>Integrated Development Environment</i>
RI	Representação Intermediária
IMSL	<i>International Mathematics and Statistics Library</i>
INPE	Instituto Nacional de Pesquisas Espaciais
LAPACK	<i>Linear Algebra Package</i>
MPI	<i>Message-Passing Interface</i>
NAG	<i>Numerical Algorithms Group</i>
OLAM	<i>Ocean Land Atmosphere Model</i>
OpenMP	<i>Open Multi-Processing</i>
PTP	<i>Parallel Tools Platform</i>
RTL	<i>Register Transfer Language</i>
SAG	<i>Software Architecture Group</i>
SSA	<i>Static Single Assignment</i>
UFRGS	Universidade Federal do Rio Grande do Sul

UML *Unified Modeling Language*

VPG *Virtual Program Graph*

LISTA DE FIGURAS

3.1	<i>Iteration Space</i> . Primeira dependência detectada.	22
3.2	<i>Iteration Space</i> . Segunda dependência detectada.	22
3.3	<i>Iteration Space</i> . Terceira dependência detectada.	22
4.1	Arquitetura do GCC.	30
4.2	Otimização no RTL.	31
4.3	Otimização na árvore SSA.	31
4.4	AST no <i>Outline View</i> do Photran.	34
4.5	Interface Eclipse/CDT.	35
4.6	<i>Abstract Syntax Tree</i>	37
4.7	<i>Virtual Program Graph</i>	38
5.1	Diagrama de atividades do algoritmo de refatoração <i>Unroll and Jam</i> . .	40
5.2	Diagrama de classes da refatoração <i>Unroll and Jam</i>	42
6.1	Tempo de execução do algoritmo multiplicação de matrizes	46
6.2	Número de requisições de leitura na memória cache L1 do algoritmo multiplicação de matrizes	47
6.3	Tempo de execução da subrotina SGTSV da biblioteca Lapack v.1. . .	48
6.4	Número de requisições de leitura na memória cache L1 da subrotina SGTSV da biblioteca Lapack v.1.	49
6.5	Tempo de execução da subrotina SGTSV da biblioteca Lapack v.2. . .	50
6.6	Número de requisições de leitura na memória cache L1 da subrotina SGTSV da biblioteca Lapack v.2.	51

LISTA DE TABELAS

5.1	Métodos utilizados em cada fase da implementação.	43
-----	---	----

RESUMO

As otimizações de um programa podem ser efetuadas no código intermediário gerado na fase de compilação, ou através da *Performance Refactoring* que consiste na inserção de otimizações diretamente no código fonte da aplicação.

Na estrutura do código fonte, os laços de iteração possuem um importante impacto no desempenho da aplicação, pois consomem elevados tempos de execução, sendo assim, é fundamental que estes sejam alvo de otimizações. Uma das otimizações de laço é o *Unroll and Jam*, que aplica operações de reestruturação de laços aninhados, permitindo utilizar eficientemente a hierarquia de memória. Os passos desta otimização consistem em primeiramente desenrolar os laços a serem otimizados, e posteriormente fusioná-los formando um bloco único de instrução.

Neste trabalho se propôs usar refatoração de código para automatizar o *Unroll and Jam* de laços em nível do código fonte, o que possibilita acumular os efeitos da otimização no programa original com as melhorias tradicionais propiciadas pelo compilador na fase de otimização do código intermediário. A implementação foi realizada com base nas estruturas da ferramenta Photran 7.0, que consiste em um ambiente de desenvolvimento integrado para a linguagem Fortran 77-2008.

Os resultados de desempenho obtidos demonstraram que a utilização de *Unroll and Jam* através da *Performance Refactoring*, com diferentes níveis de otimização, obteve ganhos significativos de desempenho em comparação a otimização realizada pelo compilador da Intel. Deve-se destacar que a aplicação conjunta de ambas as técnicas de otimização, originou resultados melhores que a utilização de uma técnica somente. Como trabalhos futuros, é interessante que novas pesquisas possam ser realizadas na obtenção de índices de desenrolamento ótimos e na aplicação conjunta de outras abordagens de otimização. Também pode haver estudos que permitam que outras otimizações sejam aplicadas pela *Performance Refactoring*.

Palavras-chave: Otimização, Unroll and Jam, Refatoração, Fortran.

Unroll and Jam optimization through refactoring

ABSTRACT

The optimizations of a program can be performed on the intermediate code, generated during compilation time, or through the Performance Refactoring that consists of insertion of optimizations directly in the source code of the application.

In the source code structure, iteration loops have a major impact in the performance of the application because they are time-consuming code and, thus, an essential target of optimizations. One loop optimization is the Unroll and Jam that applies restructuring operations in nested loops allowing efficient usage of memory hierarchy. Its optimization steps are: to unroll the target loops, and to join them forming a single block of instruction.

This work proposes the usage of refactoring to automate Unroll and Jam loops in source code level, allowing to accumulate the effects of optimization in the original program with the optimizations in the intermediate code by traditional compilers. The implementation was based on structures of Photran tool 7.0, which consists of an integrated development environment for Fortran 77-2008.

The performance results using Unroll and Jam by Performance Refactoring with different levels of unrolling, showed significant gains compared to the optimization performed by the Intel compiler. It should also be noted that the joint of both optimization techniques has led to better results than the use of an individual technique. As future works, new researches can be performed to obtain optimal rates of unrolling and to join the application of other optimization approaches. Furthermore, studies may search for optimizations to be applied by the Performance Refactoring.

Keywords: Optimization, Unroll and Jam, Refactoring, Fortran.

1 INTRODUÇÃO

1.1 Contexto e Motivação

O *software* ao longo do ciclo de vida necessita de novas funcionalidades de acordo com as necessidades do usuário e do desenvolvedor. A inserção destas funcionalidades pode ocasionar modificações estruturais e funcionais no código fonte, podendo comprometer os resultados e a manutenção da aplicação. Estes problemas podem acontecer quando a aplicação não está apta para receber novas funcionalidades, ou quando estas não são inseridas corretamente no código fonte.

Um modo a fim de evitar estas consequências indesejáveis, é a utilização da refatoração que consiste na aplicação de técnicas de melhorias na estrutura interna do *software* sem afetar os resultados produzidos pelo mesmo (FOWLER, 1999). A refatoração modifica o código fonte da aplicação, deixando o código mais reusável e flexível para futuras alterações no código da aplicação (GARRIDO; JOHNSON, 2003).

A refatoração começou a ser utilizada na programação orientada a objetos, e tornou-se muito utilizada nas aplicações deste paradigma. Porém, durante os últimos anos, novas pesquisas apareceram visando a inclusão da refatoração em outros paradigmas.

Em relação a computação de alto desempenho (HPC), a aplicação da refatoração é pouco explorada, porém é possível destacar dois grandes campos de aplicação nesta área:

- Manutenção de código.
- Otimização de código.

A manutenção de código é uma área relativamente nova que pode ser aplicada a sistemas de HPC que possuam códigos legados. Neste sentido, a refatoração é um ponto fundamental para que programas de HPC legados possam ser atualizados e novos recursos possam ser integrados. Sobre este aspecto, é importante que estas refatorações sejam realizadas através de ferramentas integradas de desenvolvimento, pois assim é possível unir a manutenção de recursos legados e o desenvolvimento de novos recursos em uma única ferramenta.

Aplicações implementadas com versões antigas da linguagem Fortran servem como exemplo de manutenção de código, pois os novos recursos disponíveis nas últimas versões do Fortran provavelmente não podem ser inseridos nas aplicações implementadas pelas antigas versões da linguagem (RISSETI; CHARAO, 2011).

Por outro lado, na otimização de código, as otimizações que visam aumentar o desempenho das aplicações são denominadas de *Performance Refactoring*. A aplicação destas refatorações deve ser automatizada através de ferramentas de desenvolvimento a fim de

evitar a inserção de erros pelo programador no momento da reestruturação do código fonte.

A utilização de otimizações em Fortran é fundamental, pois o desempenho pode ser melhorado em aplicações em Fortran que implementem algoritmos matemáticos e físicos através de laços de iteração aninhados que demandem alto poder computacional.

Sobre o ponto de vista do desempenho do código fonte da aplicação, os laços de iteração são mais propensos a otimização, pois consomem elevados tempos de execução. Entre estas otimizações, *Unroll and Jam* se destaca pela eficiência na utilização da hierarquia de memória através de operações de reestruturação de laços aninhados (CRAWFORD; WADLEIGH, 2000).

Aplicações otimizadas para uma determinada arquitetura podem usufruir de modo mais eficiente do poder computacional disponível. Estas otimizações podem ser inseridas na aplicação através de otimizações no código intermediário por meio de compiladores, ou através de otimizações no código fonte por meio de ferramentas de desenvolvimento.

Em muitos casos alcançar um bom nível de desempenho através de otimizações no código fonte não é uma tarefa trivial, pois reconfigurar todo o código da aplicação para ser otimizado para uma determinada arquitetura, pode tornar-se uma tarefa custosa e propensa a erros. Por isso, é importante que haja ferramentas que possam pré-processar o código fonte de aplicação, otimizando os blocos de instruções e permitindo que o programador possa posteriormente inserir diretivas de paralelização ou novas otimizações pelo compilador.

Sendo assim, a automatização de otimizações no código fonte através de ferramentas de refatoração torna a ação de otimizar menos custosa e mais segura. Além disso, a portabilidade das otimizações das aplicações entre diferentes arquiteturas é realizada de modo mais confiável. Do ponto de vista da fase de desenvolvimento da aplicação, através destas ferramentas é fornecido ao programador a possibilidade de realizar as tarefas de otimização e programação ao mesmo tempo. O Photran pode ser citado como uma ferramenta para automatização de refatorações para a linguagem Fortran 77-2008 (BEATON; RIVIERES, 2006). Esta ferramenta implementa diversas refatorações para esta linguagem e fornece um núcleo sofisticado para inserção de novas refatorações.

1.2 Objetivos e Contribuição

Sobre estes aspectos, o objetivo principal do trabalho foi a aplicação da otimização *Unroll and Jam* no código fonte através da *Performance Refactoring*. Para isto, a implementação foi realizada através das estruturas de dados do Photran 7.0.

A fim de avaliar a implementação do presente trabalho, aplicações científicas em Fortran implementadas através de diferentes laços de iteração foram utilizadas como estudo de casos.

Em relação a contribuição deste trabalho, os resultados obtidos das aplicações demonstraram que melhores índices de desempenho podem ser atingidos a partir da otimização *Unroll and Jam* automatizada pela ferramenta desenvolvida. Também é importante destacar que novas pesquisas sobre refatoração podem ser aplicadas por outras otimizações.

1.3 Organização do Texto

Este trabalho está organizado do seguinte modo: o capítulo 2 apresenta a revisão bibliográfica sobre os conceitos e diferentes trabalhos relacionados à refatoração.

No capítulo 3 são descritos as diferentes otimizações existentes na literatura para laços de iteração. Neste capítulo é apresentada a otimização *Unroll and Jam* e seus benefícios.

No capítulo 4 é descrito a aplicação de otimização tanto em nível de código intermediário como em nível de código fonte. Para a otimização no código intermediário é apresentado o compilador GCC para análise e otimização de laços. Enquanto para a otimização no código fonte é apresentada a ferramenta Photran, nas quais são descritas as estruturas *Abstract Syntax Tree* e *Virtual Program Graph* para alteração do código fonte.

No capítulo 5 é apresentada a implementação de *Unroll and Jam* realizada através das estruturas de dados da ferramenta Photran 7.0.

No capítulo 6 são apresentados os resultados obtidos da presente implementação através do algoritmo de multiplicação de matrizes e da subrotina SGTSV da biblioteca Lapack.

Por fim, no capítulo 7 são descritas as conclusões deste trabalho em relação aos resultados obtidos e sua importância para a comunidade científica.

2 REFATORAÇÃO

Este capítulo tem o objetivo de introduzir um breve histórico sobre as origens e conceitos relacionados à refatoração, relatar suas principais áreas de pesquisa, demonstrando a sua importância nos diferentes campos da computação.

Também neste capítulo são apresentados os conceitos da refatoração na área de HPC, e os benefícios para as aplicações.

2.1 Conceitos

A refatoração é o processo de alteração de um sistema de *software* de modo que o comportamento externo do código não mude, mas que sua estrutura interna seja melhorada. A utilização de técnicas de refatoração reestrutura o *software*, aplicando uma série de refatorações sem alterar o seu comportamento observável (FOWLER, 1999). Podem-se destacar cinco benefícios primários na utilização da refatoração (FOWLER, 1999):

- Melhorar o projeto de *software*.
- Tornar o código fonte mais legível.
- Aprimorar a detecção de falhas no código.
- Agilizar o desenvolvimento de *software*.
- Otimizar o código fonte pela *Performance Refactoring*.

Sobre o ponto de vista da gerência de projetos, um projeto de *software* tende a se deteriorar durante o tempo a medida que diversos programadores envolvidos no projeto alteram o código fonte do *software*. Este deterioramento do projeto, decorrente da alteração contínua do código fonte, ocasiona dificuldades na legibilidade do código fonte durante a fase de desenvolvimento. Sobre este problema, a refatoração organiza o código fonte da aplicação de modo a simplificar e remover partes de código que não estejam em locais apropriados, garantindo uma boa consistência do projeto.

A fase da manutenção do *software* também é beneficiada, pois a refatoração permite gerar códigos melhores estruturados para que eles possam ser modificados pelo próprio programador e por demais profissionais envolvidos na manutenção. Outro ponto importante a ser destacado, é o aprimoramento na detecção de falhas do código, pois a partir de um código bem estruturado as falhas são percebidas e corrigidas mais rapidamente.

Todos os benefícios citados anteriormente tornam o desenvolvimento de *software* mais ágil, pois através de um projeto consistente com códigos fontes simples e sem falhas é possível evitar o deterioramento e qualificar o projeto final de *software*.

Sobre o modo de aplicação da refatoração, o processo de refatorar deve ser realizado em fases pequenas e contínuas de modo a prevenir a introdução de defeitos no código. A grande maioria das refatorações pode demorar segundos ou minutos para serem aplicadas, porém grandes refatorações podem demorar dias, semanas, ou meses para as transformações serem concluídas (KERIEVSKY, 2004).

2.2 Breve Histórico

Os trabalhos iniciais em relação à refatoração foram realizados por William F. Opdyke (OPDYKE, 1992), orientado pelo professor Ralph Johnson da Universidade de Illinois em Urbana-Champaign, no qual trabalhava com o objetivo de pesquisar e desenvolver técnicas para tornar o processo da evolução do software menos custoso e mais simples (BONIATI; CHARAO, 2008).

Posteriormente, John Brant e Don Roberts, desenvolveram a primeira ferramenta para automatização de técnicas de refatoração chamada de *Refactoring Browser* (ROBERTS et al., 1996) (ROBERTS; BRANT; JOHNSON, 1997) voltada para código Smalltalk que introduzia pela primeira vez a automação de refatorações primitivas, simplificando e incentivando a utilização da técnica de refatorar (BONIATI; CHARAO, 2008).

Desde então, muitas pesquisas foram conduzidas nas diversas áreas da computação, algumas com o objetivo de catalogar e documentar as refatorações, outras como automatizar tais técnicas em ferramentas ou IDEs.

2.3 Estado da arte

Em relação às pesquisas sobre refatoração, estas podem ser classificadas em quatro áreas (MENS et al., 2003):

- Formalismo.
- Aplicação de técnicas de refatoração.
- Suporte a ferramentas.
- Linguagens de programação.

Na área de formalismo existem pesquisas relacionadas a divisões de programas (ETTINGER, 2007), transformações de grafos (MENS; TAENTZER; RUNGE, 2007), e métricas de software (BOIS, 2006).

Na área de aplicação de técnicas de refatoração, estas são organizadas de forma que orientem sua aplicação sistemática em diferentes áreas. Neste caso, na engenharia de *software* a reestruturação é utilizada para atualizar códigos legados, ou para migrar códigos a outras linguagens ou paradigmas de programação (FANTA; RAJLICH, 1999) (OVERBEY; NEGARA; JOHNSON, 2009).

A visualização de software é outra técnica que pode ser beneficiada pela refatoração através de diagramas (GRISWOLD et al., 1996), onde ferramentas gráficas são utilizadas para detectar códigos duplicados (DUCASSE; RIEGER; DEMEYER, 1999). Nesta área também há estudos para identificar quais tipos de técnicas de refatoração podem ser aplicadas dependendo da natureza dos sistemas (MENS; TOURWÉ, 2004).

Na área de suporte, estudam-se ferramentas de apoio ao desenvolvimento que possam automatizar técnicas de refatoração, atuando especificamente sobre um paradigma

e uma linguagem de programação (WATSON; DEBARDELEBEN, 2006) (ROBERTS et al., 1996) (GRAF; ZGRAGGEN; SOMMERLAD, 2007). Neste sentido, há estudos na geração de ferramentas de refatoração (MURPHY-HILL; BLACK, 2008), e trabalhos recentes que estudam o impacto e a forma de refatorar programas funcionais (LI, 1992) (LI; THOMPSON, 2008) e lógicos (SEREBRENIK; SCHRIJVERS; DEMOEN, 2008).

Nas linguagens de programação, o conceito principal se aplica igualmente independente do paradigma de programação, mas a construção de ferramentas e a própria sistematização de técnicas possuem características específicas. Destacam-se também os estudos na tentativa de evoluir aplicações legadas (LIU; BATORY; LENGAUER, 2006). Há trabalhos que abordam o uso de refatorações em diagramas UML (ASTELS, 2002) assim como a automatização de refatorações integradas a editores UML (BOGER; STURM; FRAGEMANN, 2002).

Alguns trabalhos mais recentes abordam problemas estruturais de linguagens de programação específicas, como trabalhos relacionados a automatização de ações de refatoração para código da linguagem C (GARRIDO; JOHNSON, 2002) (GARRIDO; JOHNSON, 2003), pesquisas referentes a linguagem Java (KIEZUN et al., 2007) (CHEN et al., 2008), e alguns trabalhos no contexto da computação de alto desempenho (HPC) para linguagem Fortran (OVERBEY et al., 2005) (OVERBEY; NEGARA; JOHNSON, 2009) (MATTHIAS RIEGER BART VAN ROMPAEY; LIEVIER, 2007).

Na área de banco de dados, há trabalhos que discutem a refatoração no contexto da evolução de esquemas relacionais (BOEHM et al., 2009) (AMBLER; SADALAGE, 2006). Também é possível destacar estudos sobre que aspectos a refatoração pode ser benéfica segundo a natureza do projeto de *software* (STROGGYLOS; SPINELLIS, 2007) (RATZINGER; FISCHER, 2005).

Alto desempenho e refatoração constituem-se de uma área de pesquisa relativamente recente. Observa-se a publicação de estudos de caso relacionados a técnicas de refatoração para evolução de aplicações ligadas ao alto desempenho (OVERBEY; NEGARA; JOHNSON, 2009) (BEVERLY SANDERS ERIK DEUMENS; PONTON, 2008), utilização de técnicas para melhorar o desempenho de aplicações (MATTHIAS RIEGER BART VAN ROMPAEY; LIEVIER, 2007) e em especial a automatização de técnicas em ferramentas ou *frameworks* específicos (OVERBEY et al., 2005) (JOHNSON et al., 2005) (WATSON; DEBARDELEBEN, 2006).

Em relação a otimização *Unroll and Jam*, na literatura é possível encontrar trabalhos que implementam algoritmos baseados na álgebra linear (CARR; GUAN, 1997), estudos sobre métodos analíticos (ZINGIRIAN; MARESCA, 1999), e algoritmos baseados em grafos (SONG; LIN, 2000) para determinar índices de desenrolamento ideais para os laços. Além disso, também há estudos sobre aplicações que demonstrem o impacto da otimização *Unroll and Jam* em *software pipelining* (CARR; DING; SWEANY, 1996).

Em relação as ferramentas de refatoração para a linguagem Fortran, é possível destacar o PIPS (F. IRIGOIN; TRIOLET, 1991) para Fortran 77, o Nestor (SILBER; DARTE, 1998) para Fortran 77, 90 e o Photran também para Fortran 77-2008 (BEATON; RIVIERES, 2006). O Photran é uma ferramenta de desenvolvimento baseada na plataforma Eclipse (BEATON; RIVIERES, 2006) pertencente ao macro projeto *Parallel Tools Platform* (PTP), que visa prover ao desenvolvedor um ambiente de desenvolvimento com recursos de programação e refatoração. Por ser código aberto, o Photran permite que diversas pesquisas possam ser elaboradas com o objetivo de implementar novas refatorações para o núcleo do Photran.

2.4 Refatoração em HPC

Na área de HPC a refatoração possui um papel fundamental na obtenção de desempenho através da otimização de aplicações. Estas refatorações exclusivas para a obtenção de desempenho são denominadas de *Performance Refactoring*. Apesar das técnicas de compilação implementarem otimizações no código intermediário (AHO; SETHI; ULLMAN, 1986), estas otimizações manuais realizadas pelo programador são importantes na obtenção de desempenho em aplicações quando executadas para arquiteturas específicas, ou na migração destas otimizações entre diferentes arquiteturas.

As otimizações da *Performance refactoring* são específicas para cada arquitetura e usualmente tornam o código fonte menos legível, pois os blocos de instruções das aplicações devem ser reordenados para alcançar o desempenho desejado (OVERBEY et al., 2005), sendo assim estas otimizações podem estar sujeitas a erros por parte do programador. Por este motivo é importante a utilização de ferramentas que possam automatizar todo o processo de refatoração do código fonte.

Para a obtenção de desempenho por parte das otimizações, os melhores resultados de desempenho são obtidos através da otimização das regiões mais executadas do programa, neste caso os laços de iteração são os mais indicados a otimização (KOSEKI; KOMASTU; FUKAZAWA, 1997). A otimização de laços consiste na reestruturação dos blocos de instruções das iterações, sendo assim para a reestruturação ser válida é necessário que haja mecanismos de detecção de dependências entre as iterações, uma vez que as dependências estarem estabelecidas, a reestruturação pode ser concretizada (WOLFE, 1996).

A reestruturação do programa na refatoração deve acontecer diretamente na *Abstract Syntax Tree* (AST) do código fonte, pois ela fornece toda a estrutura de representação do código fonte do programa. Ela é composta por uma raiz do qual são derivados diversos nós que por sua vez compõem outros nós. O último nível dessa árvore geralmente representa os *tokens* da linguagem de programação. Desta forma, a refatoração consiste na remoção, edição e alocação de novos nós da AST do código fonte a ser refatorado (OVERBEY; JOHNSON, 2009).

Outra área importante no uso da refatoração em HPC é a atualização de código legado de linguagens de alto desempenho. A evolução das linguagens de programação possui um custo elevado, pois a introdução de novas funcionalidades adiciona certos graus de complexidade na linguagem, ao mesmo tempo em que a remoção de funções na linguagem pode tornar obsoletos os programas existentes.

Neste aspecto, a atualização de código legado através de ferramentas integradas de desenvolvimento (OVERBEY; NEGARA; JOHNSON, 2009) torna-se importante para que aplicações legadas possam ser atualizadas. Este é o caso de Fortran, cuja linguagem possui mais do que cinco décadas, sendo utilizada frequentemente em aplicações que demandam alto poder computacional.

O escopo deste trabalho está relacionado a primeira área descrita sobre a otimização de laços de iteração em aplicações Fortran.

2.5 Fortran

Fortran é uma linguagem de programação que permite a criação de programas que primam pela velocidade de execução, sendo importante na utilização em aplicações científicas computacionalmente intensivas. Uma das suas principais vantagens, considerando

a computação de alto desempenho, é a existência de operações para tratamento de dados multidimensionais que normalmente não são encontradas de forma nativa em outras linguagens de programação (KOFFMANN; FRIEDMAN, 2006). Pelo fato de que o domínio de aplicação de Fortran é bastante específico e ligado à pesquisa científica e não ao mercado, há uma lacuna entre a quantidade de código legado escrita em Fortran e ferramentas de refatoração existentes para a linguagem Fortran (BONIATI; CHARAO, 2008).

A principal aplicação de Fortran desde seu advento é a computação científica. Este foco de atuação fez com que a linguagem tenha se perpetuado ao longo do tempo e, mesmo depois de mais de cinquenta anos de sua primeira versão, ainda seja altamente utilizada em aplicações científicas de alto custo computacional.

A linguagem Fortran é fundamental para aplicações e bibliotecas como BLAS (*Basic Linear Algebra Subprograms*), LAPACK (*Linear Algebra Package*), Benchmark LINPACK (DONGARRA; LUSZCZEK; PETITET, 2003), IMSL (*International Mathematics and Statistics Library*), NAG (*Numerical Algorithms Group*) e pode ser considerada a linguagem predominante em áreas de aplicação como matemática, física, engenharia e análises científicas (DE, 2004) (KOFFMANN; FRIEDMAN, 2006) (NYHOFF; LEESTMA, 1997).

Fortran também oferece suporte a utilização de bibliotecas para programação concorrente e distribuída como MPI (RASMUSSEN; SQUYRES, 2005) e OpenMP (HERMANN, 2002). Além disso, é fundamental para aplicações meteorológicas como o BRAMS (FAZENDA et al., 2011) e o OLAM (WALKO; AVISSAR, 2008), ambos mantidos e gerenciados pelo CPTEC (Centro de Previsão de Tempo e Estudos Climáticos) do INPE (Instituto Nacional de Pesquisas Espaciais).

Devido a longevidade da linguagem Fortran, a refatoração em Fortran pode ser vastamente utilizada tanto para atualização de sistemas legados, quanto para melhorar o desempenho dos sistemas a partir da reestruturação do código fonte. Sendo assim, a escolha da linguagem Fortran neste trabalho, é devido ao fato desta linguagem estar ligada diretamente a aplicações que envolvam cálculos multidimensionais implementados com laços de iteração que possam ser otimizados.

3 OTIMIZAÇÃO DE LAÇOS

A otimização de laços possui diversos objetivos como o aumento no aproveitamento da memória cache, a utilização de modo eficiente dos recursos de processamento paralelo disponíveis, e a diminuição do *overhead* gerado durante a execução dos laços (CRAWFORD; WADLEIGH, 2000).

Para as otimizações serem realizadas sem afetar a semântica do código, é necessário analisar as dependências de dados (WOLFE, 1996). Nas seções a seguir, é descrito a execução da análise de dependência e os tipos de otimizações disponíveis na literatura.

3.1 Análise de dependência

A otimização no código é efetuada através da reordenação da ordem de execução das instruções. Para isto, é preciso executar três passos (BACON; GRAHAM; SHARP, 1994):

- Decidir o tipo de otimização e o local onde será aplicada no código.
- Verificar se a transformação não altera a semântica do código.
- Transformar o código.

A detecção de dependências de dados no laço é necessária para verificar se o laço é válido para reordenação. Após estas dependências estarem estabelecidas, é possível realizar a alteração.

A dependência de dados no laço é analisada através do grafo *Iteration Space* (WOLFE, 1996). Cada eixo do grafo representa uma variável de iteração, e cada ponto representa um valor de índice das iterações. Se alguma variável A possui uma dependência de outra variável B , é gerado uma aresta do ponto de iteração da variável B para o ponto de iteração da variável A .

Nas figuras a seguir é possível observar a construção do grafo *Iteration Space* para um laço. Na Fig. 3.1 é possível observar a dependência da variável de leitura $b(i)$ da instrução $b(j) = b(j) - a(i,j) * b(i)$ com a variável de escrita $b(i)$ da instrução $b(i) = b(i) / a(i,i)$. Na Fig. 3.2 pode-se observar a dependência da variável de leitura $b(i)$ da instrução $b(i) = b(i) / a(i,i)$ com a variável de escrita $b(j)$ da instrução $b(j) = b(j) - a(i,j) * b(i)$. Na Fig. 3.3 é possível observar a dependência da variável de escrita $b(j)$ da instrução $b(j) = b(j) - a(i,j) * b(i)$ com a variável de leitura $b(j)$ da mesma instrução.

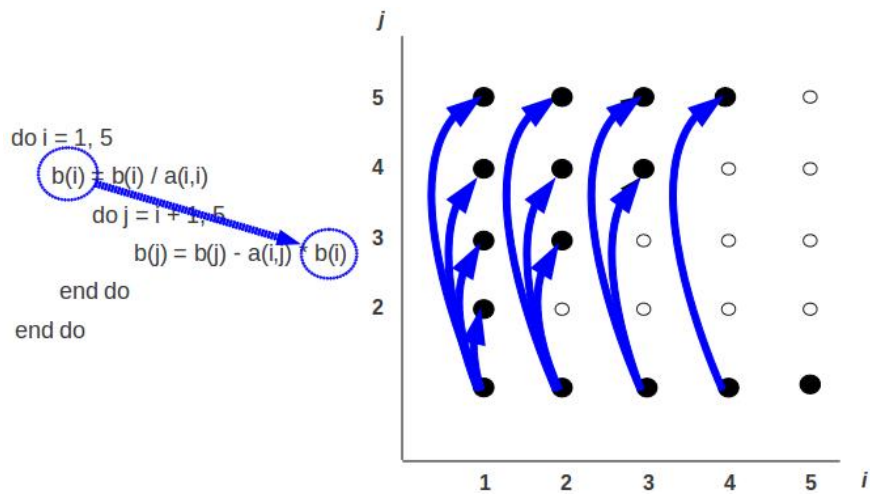


Figura 3.1: *Iteration Space*. Primeira dependência detectada.

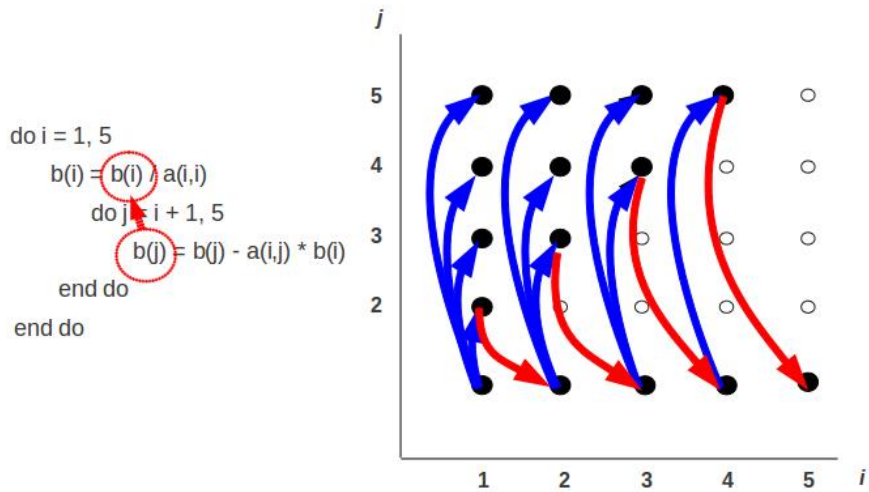


Figura 3.2: *Iteration Space*. Segunda dependência detectada.

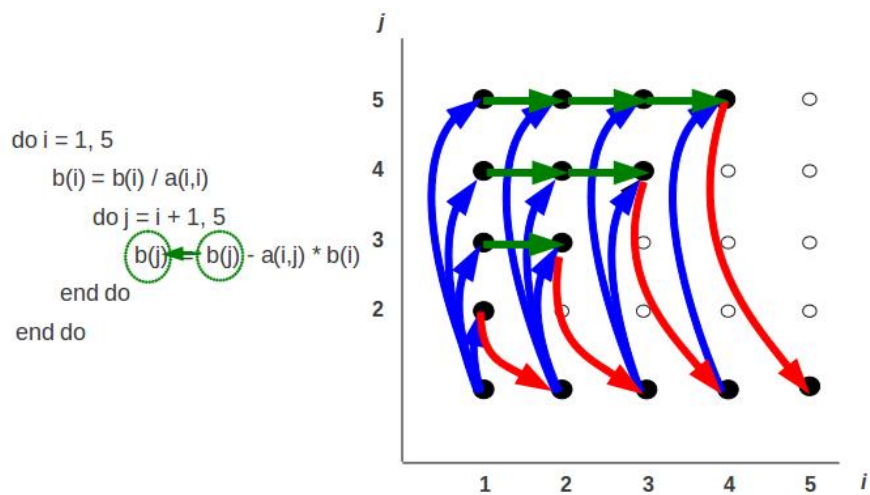


Figura 3.3: *Iteration Space*. Terceira dependência detectada.

3.2 Tipos de Otimizações

A execução dos laços de iteração possui um impacto importante no desempenho de uma aplicação, por este motivo diversos algoritmos de otimização de laços foram desenvolvidos com o objetivo de melhorar o tempo de execução dos laços, através do reuso temporal e espacial de dados e instruções das aplicações. Nas subseções a seguir são descritas as principais otimizações de laços.

3.2.1 Loop Fusion

Esta otimização consiste em transformar diversos laços de iteração em um único laço. No código 3.1 é ilustrado o código original dos laços, e no código 3.2 é possível verificar o laço otimizado, nas quais as instruções 2 e 4 são unificadas em um único laço. Esta otimização somente é válida se ambos os laços tiverem o mesmo número de iterações.

Código 3.1: Laço original

```

1 do i = 0, 100
2     a(i) = 1;
3 enddo
4 do i = 0, 100
5     b(i) = 2;
6 enddo

```

Código 3.2: Loop fusion

```

1 do i = 0, 100
2     a(i) = 1;
3     b(i) = 2;
4 enddo

```

3.2.2 Loop Fission

A otimização *Loop fission* consiste em quebrar um laço de iteração em diversos laços com o mesmo número de iterações do laço original, porém com porções de instruções diferentes do laço original. O objetivo desta otimização é transformar um laço de iteração com várias instruções em diversos laços menores e assim utilizar melhor a localidade de referencia. Esta técnica é vantajosa em arquiteturas que contenham unidades de processamento paralelo que possam executar os diversos laços criados. Esta otimização é válida se as instruções do laço não tiverem dependências entre elas. No código 3.3 é mostrado o código com o laço original, e no código 3.4 são gerados dois laços de iteração nos quais contêm as instruções 2 e 3 do código original.

Código 3.3: Laço original

```

1 do i = 0, 100
2     a(i) = 1;
3     b(i) = 2;
4 enddo

```

Código 3.4: Loop fission

```

1 do i = 0, 100
2     a(i) = 1;
3 enddo
4 do i = 0, 100

```

```

5     b(i) = 2;
6 enddo

```

3.2.3 Loop Unrolling

A otimização *loop unrolling* tem o objetivo de incrementar o *speed-up* da aplicação através da diminuição das instruções que controlam o laço, diminuindo o número de iterações. Esta otimização é considerada válida se a divisão entre o número de iterações e o índice de desenrolamento for inteira. No código 3.5 é ilustrado o código com o laço original, e no código 3.6 o respectivo laço desenrolado (*unrolling*).

Código 3.5: Laço original

```

1 do i = 0, 100
2     insert(i);
3 enddo

```

Código 3.6: Loop unrolling

```

1 do i = 0, 100
2     insert(i);
3     insert(i+1);
4     insert(i+2);
5     insert(i+3);
6     insert(i+4);
7 enddo

```

3.2.4 Loop Invariant Code Motion

A otimização *Loop invariant code motion* consiste em instruções que podem ser movidas para fora do corpo do laço sem afetar a semântica original do laço. Esta otimização é aplicada quando o valor final de uma expressão interna do laço não é alterado durante as iterações, sendo assim, sua remoção do bloco de instruções interno do laço é válida. No código 3.7 é mostrado o código original, e no código 3.8 a otimização é aplicada, onde as instruções 2 e 3 são excluídas do laço, pois o resultado de suas expressões não é alterado durante as iterações.

Código 3.7: Laço original

```

1 do i = 0, n
2     x = y + z
3     a(i) = 6 * i + x * x;
4 enddo

```

Código 3.8: Loop invariant code motion

```

1 x = y + z;
2 t1 = x * x;
3 do i = 0, n
4     a(i) = 6 * i + t1;
5 enddo

```

3.2.5 Loop Unswitching

Esta otimização consiste em mover a expressão condicional interno do laço para fora do laço através da duplicação do corpo do laço, colocando uma versão do laço para cada

cláusula *if* e *else*. Esta otimização pode melhorar a paralelização do laço. No código 3.9 é possível observar o laço original e sua otimização no código 3.10.

Código 3.9: Laço original

```

1 do i = 0, 1000
2     x(i) = x(i) + y(i);
3     if(w){
4         y(i) = 0;
5     }
6 enddo

```

Código 3.10: Loop unswitching

```

1 if(w){
2     do i = 0, 1000
3         x(i) = x(i) + y(i);
4         y(i) = 0;
5     enddo
6 }
7 else{
8     do i = 0, 1000
9         x(i) = x(i) + y(i);
10    enddo
11 }

```

3.2.6 Loop Interchange

Esta otimização consiste no processo de mudar a ordem de duas variáveis de iteração. Esta otimização possui a finalidade de melhorar a localidade espacial, pois em geral arrays são organizados por linha pelos compiladores. No código 3.11 é ilustrado o código com os laços originais, e no código 3.12 os índices e a condição de parada dos laços são alterados entre eles.

Código 3.11: Laço original

```

1 do i = 0, n
2     do j = 0, m
3         a(i, j) = i + j;
4     enddo
5 enddo

```

Código 3.12: Loop interchange

```

1 do i = 0, m
2     do j = 0, n
3         a(i, j) = i + j;
4     enddo
5 enddo

```

3.2.7 Loop Unroll and Jam

Unroll and Jam é uma técnica de otimização de laços aninhados que visa reduzir o número de desvios e operações na memória, aproveitando os registradores disponíveis na arquitetura (CARR; KENNEDY, 1994).

A otimização *Unroll and Jam* consiste em dois passos: desenrolar e fusionar os laços de iteração. Esta otimização é válida se a divisão entre o número de iterações e o índice

de desenrolamento for inteira, e se entre os laços não existam dependências. No presente trabalho não foram consideradas as dependências.

A partir de laços originais (código 3.13), o bloco de instruções do laço mais externo é mantido, e as instruções do laço mais interno são replicadas em tantas vezes quanto o índice de desenrolamento for indicado para este laço (código 3.14). No código 3.15, finalmente as instruções dos laços internos replicados são fusionados em um bloco único de instrução.

Código 3.13: Laço original

```

1 do k = 0, n
2     do j = 0, n
3         do i = 0, n
4             a(i, j) = a(i, j) + b(i, k) * c(k, j)
5         enddo
6     enddo
7 enddo

```

Código 3.14: Unroll

```

1 do k = 0, n, 2
2     do j = 0, n, 4
3         do i = 0, n
4             a(i, j) = a(i, j) + b(i, k) * c(k, j)
5             a(i, j) = a(i, j) + b(i, k+1) * c(k+1, j)
6         enddo
7         do i = 0, n
8             a(i, j+1) = a(i, j+1) + b(i, k) * c(k, j+1)
9             a(i, j+1) = a(i, j+1) + b(i, k+1) * c(k+1, j+1)
10        enddo
11        do i = 0, n
12            a(i, j+2) = a(i, j+2) + b(i, k) * c(k, j+2)
13            a(i, j+2) = a(i, j+2) + b(i, k+1) * c(k+1, j+2)
14        enddo
15        do i = 0, n
16            a(i, j+3) = a(i, j+3) + b(i, k) * c(k, j+3)
17            a(i, j+3) = a(i, j+3) + b(i, k+1) * c(k+1, j+3)
18        enddo
19    enddo
20 enddo

```

Código 3.15: Jam

```

1 do k = 0, n, 2
2     do j = 0, n, 4
3         do i = 0, n
4             a(i, j) = a(i, j) + b(i, k) * c(k, j)
5             a(i, j) = a(i, j) + b(i, k+1) * c(k+1, j)
6             a(i, j+1) = a(i, j+1) + b(i, k) * c(k, j+1)
7             a(i, j+1) = a(i, j+1) + b(i, k+1) * c(k+1, j+1)
8             a(i, j+2) = a(i, j+2) + b(i, k) * c(k, j+2)
9             a(i, j+2) = a(i, j+2) + b(i, k+1) * c(k+1, j+2)
10            a(i, j+3) = a(i, j+3) + b(i, k) * c(k, j+3)
11            a(i, j+3) = a(i, j+3) + b(i, k+1) * c(k+1, j+3)
12        enddo
13    enddo
14 enddo

```

A otimização *Unroll and Jam* diminui o número de incrementos e testes realizados nos laços de iteração. Para isto, o índice de desenrolamento está ligado diretamente aos recursos de *hardware* disponíveis, ou seja, a obtenção de desempenho pode ser comprometida caso os laços desenrolados necessitem de um maior número de registradores disponíveis (CRAWFORD; WADLEIGH, 2000).

4 FERRAMENTAS PARA OTIMIZAÇÃO

As otimizações nas aplicações podem ocorrer no código intermediário através de compiladores, ou no código fonte por meio de ferramentas de desenvolvimento. Neste capítulo são descritos as características e diferenças entre ambas através do compilador GCC e da ferramenta Photran.

4.1 GNU Compiler Collection

O *GNU Compiler Collection* (GCC) é um conjunto de compiladores de linguagens de programação produzido pelo projeto GNU. Ele é caracterizado por ser de caráter software livre distribuído pela Free Software Foundation (FSF) sob os termos da GNU GPL, e por ser uma componente chave do conjunto de ferramentas GNU. O GCC pode ser considerado o compilador padrão para sistemas operativos UNIX, Linux, e Mac OS (VICHARE, 2008), e representa uma peça fundamental no desenvolvimento de aplicações científicas de caráter software livre (JONES, 2008).

4.1.1 Breve Histórico

O compilador GCC foi escrito por Richard Stallman em 1987 com o objetivo de servir de compilador para o Projeto GNU, a criação do GCC foi um marco importante, pois foi o primeiro compilador software livre otimizado para linguagem C, desde então o GCC tornou-se uma importante ferramenta no desenvolvimento de software (GOUGH; STALLMAN, 2004).

Logo após em 1992, um versão mais robusta veio com a série 2.0, nesta versão surgiu a possibilidade de compilação C++. No ano de 1997, com a idéia de juntar várias bifurcações experimentais num único projeto e assim aumentar no compilador o processo de otimização e suporte ao C++, surgiu um novo projeto chamado de EGCS. Desde então em Abril de 1999, o projeto ECGS foi adotado como versão inicial do GCC (GOUGH; STALLMAN, 2004).

Na versão 3.0 surgida em 2001, foram obtidas melhorias nas otimizações e suporte ao C++. Atualmente o GCC é estendido para o suporte a outras linguagens, incluindo Fortran, ADA, Java e Objective-C, e seu desenvolvimento é guiado pelo GCC Steering Committee, um grupo composto por representantes de comunidades de usuários do GCC presentes na indústria, pesquisa, e academia (GOUGH; STALLMAN, 2004).

4.1.2 Arquitetura

O GCC é essencialmente um pipeline que converte uma representação de um programa em outra, nele há três componentes principais: front-end, middle-end, e back-end.

O front-end é responsável por ler o código fonte, analisá-lo, e convertê-lo em uma árvore sintática abstrata (AST), neste aspecto, existe um front-end e uma AST específica para cada linguagem. Após isto, a árvore sintática abstrata é convertida em uma árvore chamada Generic, cuja representação é uniforme para todas as linguagens. As árvores Generic são utilizadas para ser uma representação intermediária entre o *parser* e o código (NOVILLO, 2006).

No middle-end a árvore Generic é convertida em uma nova representação chamada de Gimple. Neste formato cada expressão não contém mais do que três operandos, o que facilita os processos de otimização do código fonte. No código 4.1 é possível observar um código no formato Generic, e no código 4.2 no formato Gimple.

Código 4.1: Código no formato Generic

```

1 a = foo ();
2 b = a + 10;
3 c = 5;
4 if (a > b + c)
5     c = b++ / a + (b * a);
6 bar (a, b, c);

```

Código 4.2: Código no formato Gimple

```

1 a = foo ();
2 b = a + 10;
3 c = 5;
4 T1 = b + c;
5 if (a > T1){
6     T2 = b / a;
7     T3 = b * a;
8     c = T2 + T3;
9     b = b + 1;
10 }
11 bar (a, b, c);

```

Logo após a geração do Gimple, esta é convertida em uma representação SSA (*static single assignment*). O formato SSA permite que uma determinada variável possa ser atribuída uma única vez, porém a mesma variável pode ser utilizada no lado direito da expressão inúmeras vezes, caso uma variável seja atribuída varias vezes, é criada uma nova versão desta variável e armazenada o novo valor nela (NOVILLO, 2006). No código 4.3 é possível observar um código no formato SSA.

Código 4.3: Código no formato SSA

```

1 baz ()
2 {
3     int i, j;
4     {
5         int k;
6         k = foo ();
7         i = k + 2;
8         j = i * k;
9     }
10    return j;
11 }

```

O formato SSA é alvo de otimizações (opt1, opt2, opt3) por parte do GCC, e convertido na representação intermediária (RI) chamada de *Register Transfer Language* (RTL).

A RTL é uma representação próxima a linguagem Assembly que corresponde a arquitetura alvo, esta representação também pode ser alvo de otimizações (NOVILLO, 2006).

Finalmente o back-end do GCC gera o código Assembly para a arquitetura alvo utilizando a representação RTL. Todos os componentes da arquitetura do GCC podem ser vistos na Figura 4.1 (NOVILLO, 2006).

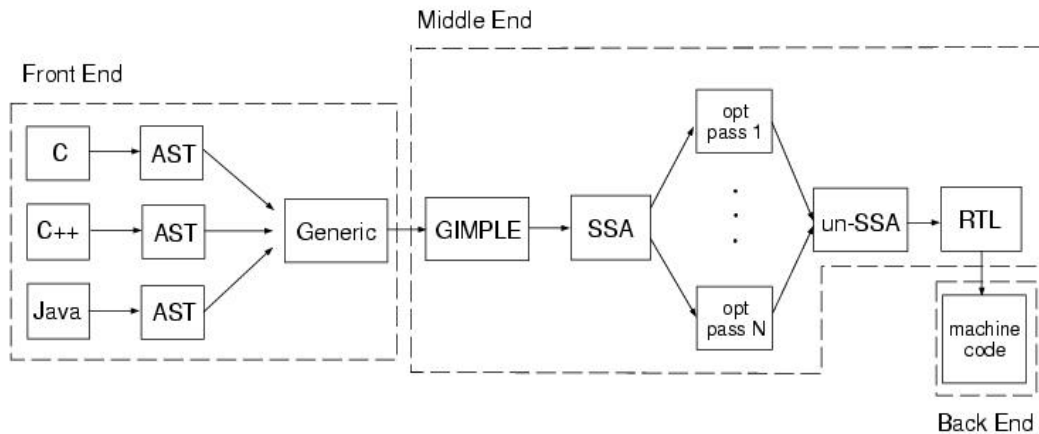


Figura 4.1: Arquitetura do GCC.

No compilador GCC existem três blocos básicos que compõem a infraestrutura de otimização: o *Gimplifier*, *Control Flow Graph* (CFG), e o módulo SSA. O *Gimplifier* é responsável por prover funções que convertem as árvores Generic no formato Gimple (NOVILLO, 2006). Os motivos da utilização do Gimple se devem por três aspectos:

- Facilitar a implementação de novas análises e otimizações próximas a representação do código fonte.
- Simplificar o trabalho realizado pelos otimizadores da RTL, melhorando o código fonte e desempenho dos programas compilados.
- Otimizar aplicações independentes da linguagem do código e da arquitetura alvo, isto é importante para o GCC visto que ele comporta diferentes linguagens.

As versões anteriores do GCC operavam otimizações na representação intermediária Register Transfer Language (RTL). As árvores geradas pelo front-end eram imediatamente convertidas para a RTL e otimizadas (Figura 4.2). A RTL é uma boa estrutura para otimizações em baixo-nível, porém muitas otimizações necessitam informações de mais alto nível sobre o programa, o que é muito difícil de obtê-las através da RTL (NOVILLO, 2006).

O *Control Flow Graph* (CFG) é uma estrutura de dados construída juntamente com a árvore Gimple, o CFG é um grafo direcionado que modela a execução do programa, no qual cada bloco básico representa instruções que devem ser executadas sequencialmente, e as arestas do grafo representam possíveis caminhos de execução no fluxo de controle (NOVILLO, 2006).

O módulo SSA é o *framework* de otimização que opera sobre as árvores Gimple (Figura 4.3) gerando árvores SSA. O formato SSA é projetado para ser independente de linguagem e arquitetura, e permite análises e transformações de alto nível que são difíceis de implementar utilizando a RTL (NOVILLO, 2006). Neste aspecto, um dos objetivos

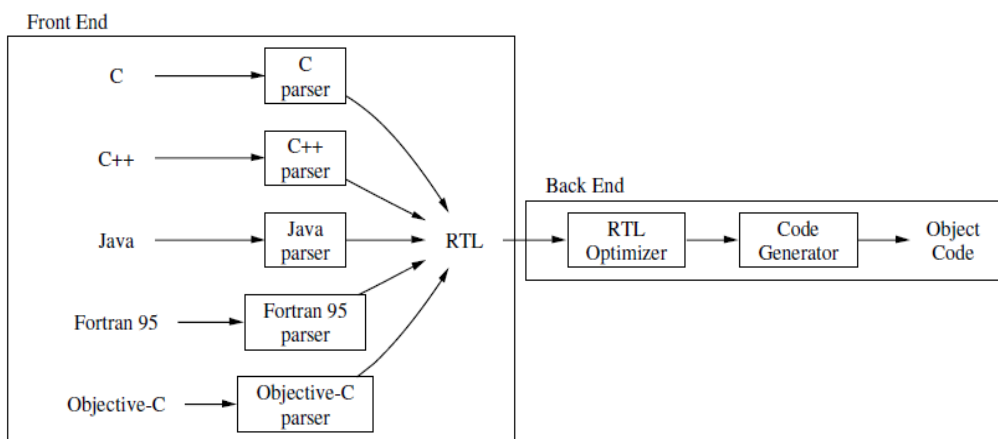


Figura 4.2: Otimização no RTL.

da utilização de árvores SSA é produzir para o GCC uma infraestrutura compacta para análises e algoritmos de otimização disponíveis na literatura.

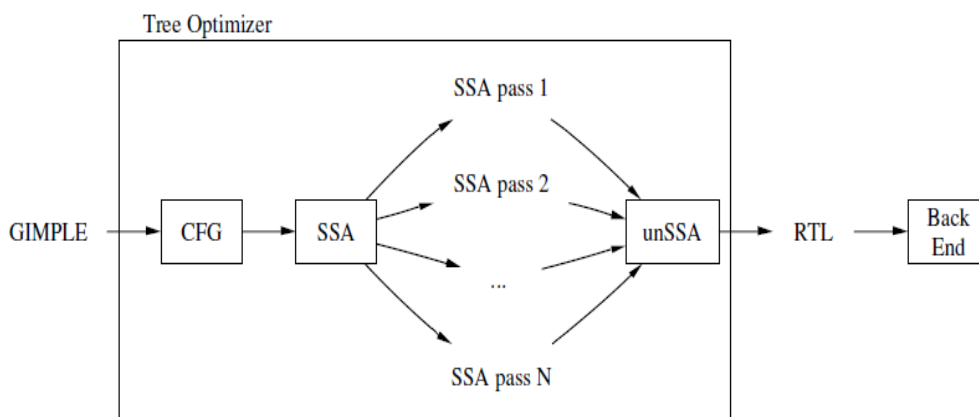


Figura 4.3: Otimização na árvore SSA.

Além disso, a modularização das otimizações a partir da árvore SSA pode melhorar o desempenho do GCC e facilitar o aprendizado por parte dos desenvolvedores externos ao GCC que desejem adicionar novas otimizações. Outro ponto fundamental na utilização da árvore SSA, é a redução do código RTL gerado, e do tempo de compilação do programa, melhorando a qualidade de código final obtido (NOVILLO, 2006).

4.1.3 Representação e Otimização de Laços

Um laço de iteração possui um bloco de entrada (cabeçalho) e diversas arestas que dirigem-se do cabeçalho para os blocos de instruções do respectivo laço. No GCC o *Control Flow Graph* é responsável por obter as informações necessárias dos laços, e organizá-los em uma estrutura de hierarquia de árvore (NOVILLO, 2006).

Todos os laços são representados por uma estrutura chamada de *struct loops*, onde para cada laço é atribuído um valor de índice, e um ponteiro para o laço é armazenado em um vetor de laços chamado de *larray* contido na *struct loops* (STALLMAN, 2011).

Cada laço interno contém a referência para o laço mais externo do qual ele pertence, por esta razão, somente é possível ter ao mesmo tempo uma estrutura do tipo *struct lo-*

ops inicializada no CFG. A variável global *current-loops* é responsável por referenciar a estrutura *struct loops* (STALLMAN, 2011).

Os acessos aos laços através dos índices não devem ser realizados diretamente do *larray*, deve-se usar a função *get-loop* para retornar o laço referenciado. Outra função chamada de *number-of-loops* retorna o número de laços em uma determinada função (STALLMAN, 2011).

Para realizar a iteração sobre os laços, é utilizada a macro *FOR-EACH-LOOP*, onde as *flags* da macro indicam a direção que a iteração deve realizar, e quais laços devem ser percorridos. O GCC garante a visita nos laços pelo menos uma vez através da macro *FOR-EACH-LOOP*, alocando variáveis temporárias, porém caso ela seja interrompida por uma instrução *break* ou *goto*, as variáveis não serão desalocadas, sendo necessário a utilização da macro *FOR-EACH-LOOP-BREAK* para desalocá-las. Durante a iteração, os laços podem ser adicionados, alterados, ou removidos, porém as mudanças não afetam o processo inicial de iteração (STALLMAN, 2011).

Uma vez descrito como os laços são representados, é necessário verificar como o GCC realiza a análise dos laços no CFG. A inicialização da análise dos laços de iteração é realizada através da função *loop-optimizer-init(flags)*, onde as informações sobre os laços são acessadas através da variável *current-loops* encontrado no arquivo *loop-init.c* (STALLMAN, 2011).

É importante salientar que tais informações dos laços de iteração são preservadas através das otimizações e atualizadas quando a otimização é finalizada. O argumento *flags* desta função permite que um conjunto de propriedades das estruturas dos laços seja calculado ou preservado. Uma vez finalizada a análise, os dados armazenados durante a análise dos laços devem liberados da memória através da função *loop-optimizer-finalize* (STALLMAN, 2011).

Algumas informações de mais alto nível sobre os laços podem ser obtidas diretamente das estruturas dos laços. Alguns campos da *struct loop* são utilizados para obter informações (STALLMAN, 2011):

- *header*: referência ao cabeçalho do laço.
- *num-nodes*: indica número de nós do laço (incluindo os blocos básicos dos laços internos).
- *depth*: indica a profundidade do laço na árvore.
- *outer*, *inner*, *next*: referência ao laço mais externo, interno, e o próximo laço na árvore.

As otimizações de laços no GCC utilizam as informações dos campos da *struct loops* citados acima através das seguintes funções declaradas no arquivo *cfgloop.h* e utilizadas no arquivo *cfgloop.c* (STALLMAN, 2011):

- *verify-loop-structure*: verifica a consistência do laço.
- *flow-loop-nested-p*: testa se um determinado laço é interno a outro laço.
- *flow-bb-inside-loop-p*: verifica se um bloco básico de instruções pertence a um determinado laço.
- *get-loop-body*: retorna um determinado bloco de instruções no laço.

- `single-exit`: verifica se o laço finaliza normalmente.

Finalmente a manipulação dos laços é realizada através das seguintes funções (STALLMAN, 2011):

- `flow-loop-tree-node-add`: adiciona um nó na árvore.
- `flow-loop-tree-node-remove`: remove um nó da árvore.
- `add-bb-to-loop`: adiciona um bloco de instrução na árvore.
- `remove-bb-from-loops`: remove um bloco de instrução da árvore.

As otimizações no GCC utilizam todas as estruturas de dados descritas anteriormente, o arquivo onde se encontram as funções principais de otimização pode ser encontrado em `tree-ssa-loop.c` e as otimizações são descritas através de `pass-optimizationName`, as funções que manipulam os laços podem ser encontradas nos arquivos `tree-ssa-loop-manip.c`, `cfgloop.c`, `cfgloopanal.c` e `cfgloopmain.c`.

Como dito anteriormente, as otimizações no GCC podem ocorrer no RTL e na árvore SSA. Em relação à otimização *Loop Unroll*, a partir da versão do GCC 4.2 esta otimização pode ser implementada tanto no formato SSA no arquivo `tree-ssa-ivcanon.c` através de `pass-complete-unroll`, e na RTL no arquivo `loop-unroll.c`.

No caso da otimização *Loop Unroll* o otimizador implementado no RTL não reconhece o *Control Flow Graph* e a estrutura *struct loops*. Sendo assim quando o otimizador em nível RTL é executado, as informações contidas no CFG são desconsideradas, e após o otimizador ter concluído a transformação, o CFG deve ser reconstruído ocasionando perda de desempenho durante a otimização.

Sendo assim, pesquisas tem se concentrado em desenvolver otimizações no nível das árvores SSA, eliminando otimizações possíveis no RTL, pois desse modo é possível aproveitar as informações de alto nível do CFG, reduzir o código em nível RTL, e facilitar a inserção de novas otimizações de laços.

4.2 Photran

O Photran é um ambiente integrado de desenvolvimento (IDE) para Fortran 77-2008 baseado na plataforma Eclipse (BEATON; RIVIERES, 2006), o qual organiza em torno do IDE do Eclipse ferramentas para desenvolvimento, depuração, distribuição e monitoramento de aplicações.

O Photran pertence ao macro projeto denominado *Parallel Tools Platform* (PTP), cujo objetivo é explorar a deficiência de ferramentas para a computação científica (WATSON; DEBARDELEBEN, 2006) e de alto desempenho (VAN DE VANTER; POST; ZOSEL, 2005).

4.2.1 Breve Histórico

Os primeiros trabalhos desenvolvidos em relação ao Photran foram realizados por Vaishali De, Julia Dtragan-Chirila e Rohit Eipe no SAG (*Software Architectute Group*), coordenados por Ralph Johnson na Universidade de Illinois em Urbana Champaign (CHEN N., 2010).

O desenvolvimento do Photran foi realizado através da linguagem Java, e sua arquitetura pode ser composta por subprojetos em que cada um constitui-se de plugins ou

recursos. Os plugins visam adicionar funcionalidades ao Eclipse e os recursos oferecem unidades de desenvolvimento para os programadores (CHEN N., 2010).

4.2.2 Recursos

A edição de código no Photran permite o suporte de edição em formato livre através da classe *FreeFormFortranEditor*, e em formato fixo pela classe *FixedFormFortranEditor* (CHEN N., 2010).

Os processos e assistentes para criação, edição de projetos Fortran são similares aos processos necessários para criação de projetos em outras linguagens no Eclipse. Porém, uma funcionalidade destacada durante a edição do código fonte, é a possibilidade de visualizar através do recurso *Outline View* a estrutura hierárquica da AST do código fonte. Na Figura 4.4 pode ser observado um exemplo de visualização da AST do Photran no *Outline View*.



Figura 4.4: AST no *Outline View* do Photran.

A verificação de erros sintáticos é possível ser detectada através da AST exibida no *Outline View* do Eclipse. Também é possível destacar que ao selecionar algum elemento da *Outline View*, o cursor se posiciona sobre o elemento mais significativo do código fonte.

Além dos recursos citados anteriormente, um dos recursos mais importantes no ambiente Photran é a possibilidade de refatoração do código fonte. O mecanismo de refatoração no Photran permite alterar o código fonte em alto nível, visualizar as diferenças antes e depois da refatoração, e poder cancelar as refatorações inseridas no código fonte. O escopo deste trabalho aborda a utilização deste recurso.

4.2.3 Arquitetura

A arquitetura do Photran é baseada e adaptada a partir de outro plugin para o Eclipse, o CDT (*C, C++ Development Tools*) (LEE B., 2004) (GRAF; ZGRAGGEN; SOMMERLAD, 2007). O CDT é um projeto de código aberto implementado na linguagem Java baseado em um conjunto de plugins para a plataforma do Eclipse SDK, este plugin adiciona uma perspectiva C/C++ a área de trabalho do Eclipse permitindo a edição, compila-

ção, e debugação de códigos em C/C++. Na Figura 4.5 é possível observar a interface de programação do CDT (CHEN N., 2010).

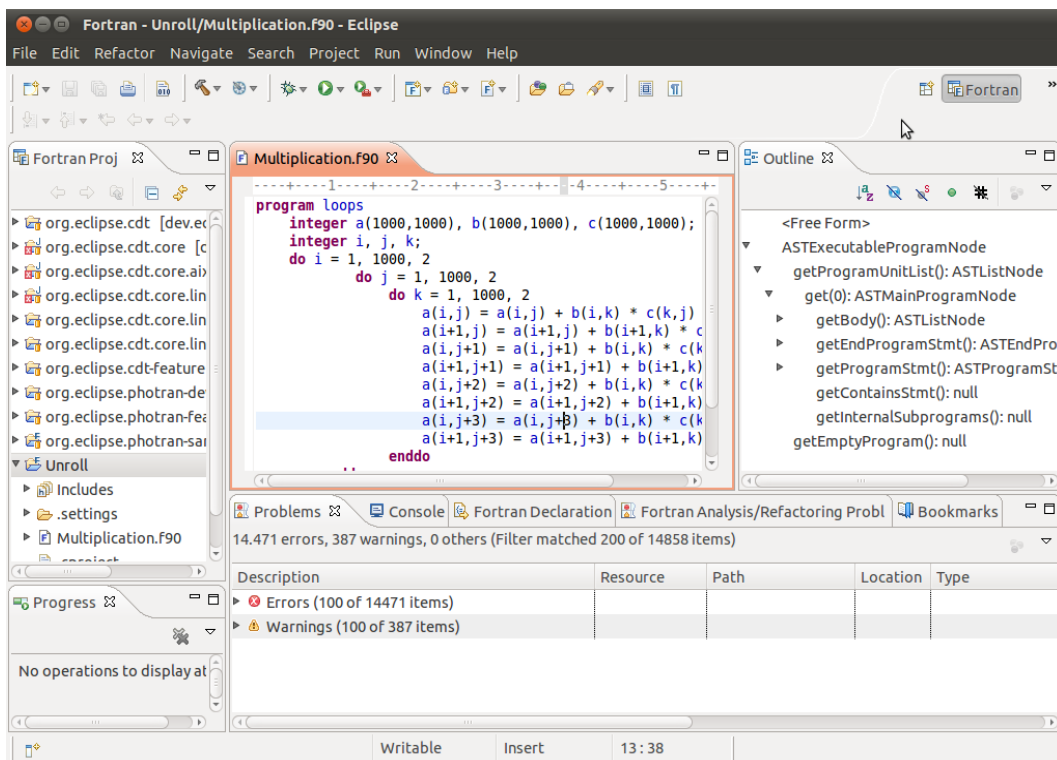


Figura 4.5: Interface Eclipse/CDT.

O Photran é construído sobre o CDT, adicionando extensões do pacote *org.eclipse.cdt.core.language* para validar o reconhecimento da linguagem Fortran no CDT, e permitir que o Photran possa emitir estruturas visuais de saída sobre o código fonte (CHEN N., 2010).

Sobre a interface gráfica, elementos da interface do CDT são estendidos para fornecer ao Photran uma IDE similar ao CDT. O Photran também contribui com *error parsers* que permitem ao CDT reconhecer mensagens de erros de diversos compiladores Fortran e exibi-los no console de erros. Além disso, o Photran adiciona novos projetos de *template* e ferramentas para o projeto CDT e para o próprio Photran (CHEN N., 2010).

Em relação aos diversos componentes/projetos do Photran, estes podem ser decompostos do seguinte modo (CHEN N., 2010):

- *Rephraser Engine*: Este projeto representa uma infraestrutura independente de linguagem, ela contém as classes bases para as classes da refatoração do Photran, as quais são herdadas das classes do *Rephraser Engine*. A idéia básica desta infraestrutura é criar um mecanismo comum que possa ser reutilizado em ferramentas de refatoração para diferentes linguagens. Atualmente há pesquisas realizadas pelo professor Ralph Johnson para desenvolvimento de ferramentas de refatoração para PHP, Lua, BC, que utilizam o *Rephraser Engine* como estrutura base para a refatoração.
- *Base Photran*: Dentro deste projeto está o pacote *org.eclipse.photran.cdtinterface* que contém a maioria dos componentes (*core* e UI) relacionados com a integração com o CDT. O pacote *org.eclipse.photran.core* é considerado o núcleo do Photran,

pois contem as funcionalidades que permitem que o eclipse suporte projetos em Fortran. Outro pacote fundamental neste projeto, é o *org.eclipse.photran.ui* que possui os componentes específicos do Fortran da interface do usuário que não são derivados do CDT e que não dependem do *parser* do Fortran. Finalmente os pacotes *org.eclipse.photran.managedbuilder.core*, *org.eclipse.photran.managedbuilder.gnu.ui*, *orc.eclipse.photran.managedbuilder.ui* oferecem suportes para projetos que utilizem o GNU Fortran (gfortran).

- *Virtual Program Graph*: Neste projeto está o pacote *org.eclipse.photran.core.vpg* que contém a infraestrutura para análise, *parsing* (neste pacote encontra-se a AST), e o pacote *org.eclipse.photran.internal.core.refactoring* que contém a refatoração. Os pacotes *org.eclipse.photran.core.vpg.tests* e *org.eclipse.photran.core.vpg.tests.failing* fornecem testes para o núcleo VPG. Também neste projeto encontra-se o pacote *org.eclipse.photran.ui.vpg* onde são implementadas as interfaces gráficas das refatorações. Outro pacote encontrado é o *org.eclipse.photran.cdtinterface.vpg*, o qual constrói as visualizações do código apresentadas no *Outline View*.
- *XL Fortran Compiler*: Neste projeto, os pacotes *org.eclipse.photran.core.errorparsers.xlf* e *orc.eclipse.photran.managedbuilder.xlf.ui* fornecem funcionalidades para suporte ao compilador XL Fortran.
- *Intel Fortran Compiler*: Este projeto dispõe suporte para o compilador Intel Fortran. Os pacotes encontrados *org.eclipse.photran.core.intel* e *org.eclipse.photran.managedbuilder.intel.ui* são os responsáveis por este suporte.

4.2.4 Abstract Syntax Tree

A *Abstract Syntax Tree* é a representação interna do código fonte gerada diretamente pelo analisador sintático utilizado. No caso do Photran o analisador sintático foi produzido pelo Ludwig, o qual possui a característica de produzir analisadores sintáticos e ASTs que possam ser manipuladas (*Rewritable AST*), ou seja, cujos nós possam ser removidos, inseridos, ou realocados de lugar, permitindo modificar o código fonte e manter o formato original do código não alterado. O Ludwig utiliza a notação EBNF para a especificação da gramática e produz o analisador sintático em código Java, no caso do Photran a gramática está contida no arquivo *fortran2003.bnf* (CHEN N., 2010).

A AST é peça chave para a automatização de ações de refatoração (OVERBEY; JOHNSON, 2009), pois possibilita ao desenvolvedor navegar pela estrutura do código fonte, detectando correlações entre seus nós e possibilitando as inserções, exclusões e posicionamentos destes nós. A Fig 4.6 ilustra na esquerda um laço em Fortran e na direita a sua correspondente AST, nesta figura é possível verificar que para cada *token* ou expressão no código fonte, existe o seu nó correspondente na AST.

Mais especificamente sobre a estrutura da AST, existe um *ASTNode* para cada elemento não-terminal e um método de acesso para cada elemento da direita da produção. No exemplo a seguir é ilustrada uma especificação:

```
<DataStmtSet> ::= <DataStmtObjectList> | <DataStmtValueList>
```

A convenção adotada no Photran é gerar para o não-terminal uma classe com o nome *AST<nonterminal name>Node* que estende a classe *ASTNode*. Dessa forma na especificação acima a classe gerada é *ASTDataStmtSetNode*, e métodos *setters* e *getters* são gerados para os elementos *DataStmtObjectList* e *DataStmtValueList* (*getDataStmtObjectList*, *setDataStmtObjectList*, *getDataStmtValueList*, *setDataStmtValueList*) (CHEN N., 2010).



Figura 4.6: *Abstract Syntax Tree*.

Em relação aos *tokens* da AST, estes formam as folhas da AST e mantêm informações como (CHEN N., 2010):

- O elemento terminal do *token* na gramática que pode ser acessado pelo método *getTerminal()*.
- O texto do *token* que pode ser coletado pelo método *getText()*.
- A linha, coluna, *offset*, e tamanho do *token* no código fonte, os quais podem ser obtidos através dos métodos *getLine()*, *getCol()*, *getFileOffset()*, *getLength()*.

4.2.5 Virtual Program Graph

No Photran também existe a estrutura *Virtual Program Graph* (VPG), responsável por adicionar informações de análise para a *Abstract Syntax Tree* do programa. De modo geral, as análises a serem realizadas no código devem ser realizadas através de métodos do VPG.

Um objeto *singleton* do *Virtual Program Graph* é responsável pela criação da respectiva AST do código do programa em Fortran. As ASTs são geradas de duas maneiras: invocando ASTs permanentes, onde a árvore é armazenada na memória até que um método é chamado para eliminar a respectiva AST, ou ASTs transitórias, onde a árvore pode ser eliminada através do *garbage collector* assim que os nós desapareçam (CHEN N., 2010).

Ambos os métodos construtores da AST retornam um objeto *IFortranAST*, o qual possui métodos para acessar os nós da AST, obter informações de escopo da AST, visualizar logs de erros durante a análise. Na Figura 4.7 é possível verificar as linhas pontilhadas que indicam informações do VPG na AST (CHEN N., 2010).

Em relação aos diferentes modos de aplicação das otimizações descritas anteriormente, o presente trabalho foca na implementação de otimizações no código fonte da aplicação, pois através da refatoração é possível obter um controle mais alto nível na otimização e tornar o código já otimizado apto para futuras paralelizações e otimizações.

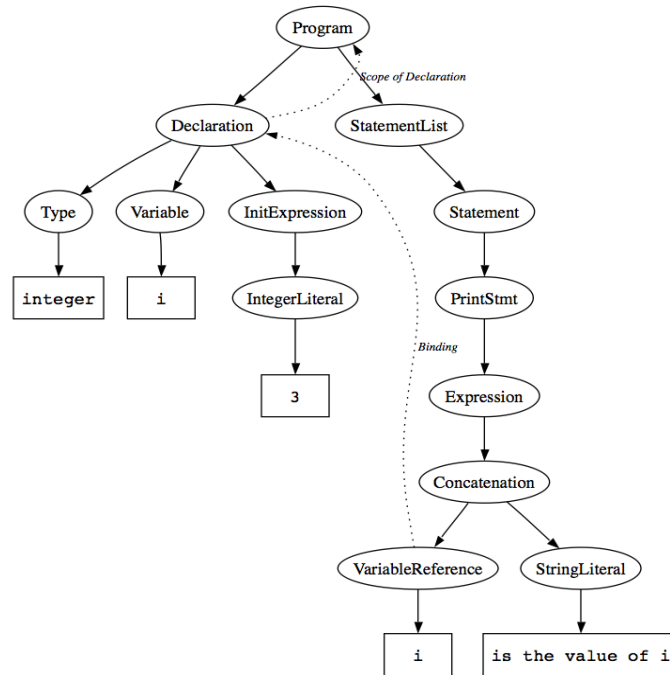


Figura 4.7: *Virtual Program Graph*.

Outro aspecto importante, é a eficiência na portabilidade das otimizações aplicadas no código entre diferentes arquiteturas, pois se uma aplicação for otimizada em uma arquitetura diferente, somente é necessário refatorar o código.

Em relação ao ponto de vista do programador, este pode usufruir dos benefícios que o ambiente de desenvolvimento do Photran fornece ao próprio programador, pois através desta ferramenta é possível desenvolver, refatorar e debugar aplicações paralelas na mesma ferramenta.

5 IMPLEMENTAÇÃO

Este capítulo é responsável por descrever a implementação realizada neste trabalho, sendo implementada através da linguagem Java devido a integração das refatorações ao núcleo do Photran 7.0. Nas seções a seguir são relatados os diversos atributos, métodos e classes que formam a base da implementação.

A refatoração de *Unroll and Jam* no Photran foi realizada dentro do pacote *org.eclipse.photran.internal.core.refactoring*. A sua implementação através do Photran é realizada em três diferentes etapas:

- Pré-validação.
- Manipulação.
- Pós-validação.

Na fase da pré-validação, o Photran utiliza métodos que permitem modificar a estrutura do laço para deixá-la apta para alteração. Também nesta fase, é verificado se os índices dos laços de iteração podem ser alterados.

Na etapa de manipulação, através de métodos pertencentes ao *Virtual Program Graph* é possível navegar sobre os diferentes nós da *Abstract Syntax Tree*, coletar as informações acerca dos nós que compõem a AST e alterá-los.

Finalmente na etapa de pós-validação, após a reestruturação estar finalizada, métodos são utilizados para reindentar e atualizar toda a AST. Na Figura 5.1 através da UML é possível observar o diagrama de atividades do algoritmo de refatoração *Unroll and Jam*, e nas seções a seguir são relatadas mais especificamente as três fases destacadas anteriormente.

5.1 Pré-validação

Os laços de iteração no *Virtual Program Graph* são implementados em um pacote chamado *org.eclipse.photran.internal.core.analysis*, cujo objetivo é fornecer uma representação adequada aos laços para que estes estejam aptos para visualização e alteração dos nós na AST.

Neste pacote, o método *replaceAllLoops(ast)* transforma os nós *ASTNode* dos laços em nós *ASTProperLoopConstructNode*. A classe *ASTProperLoopConstructNode* fornece diversos atributos para a identificação das partes dos laços e métodos que percorrem as estruturas dos laços:

- *ASTLabelDoStmtNode*: nó cabeçalho do laço.

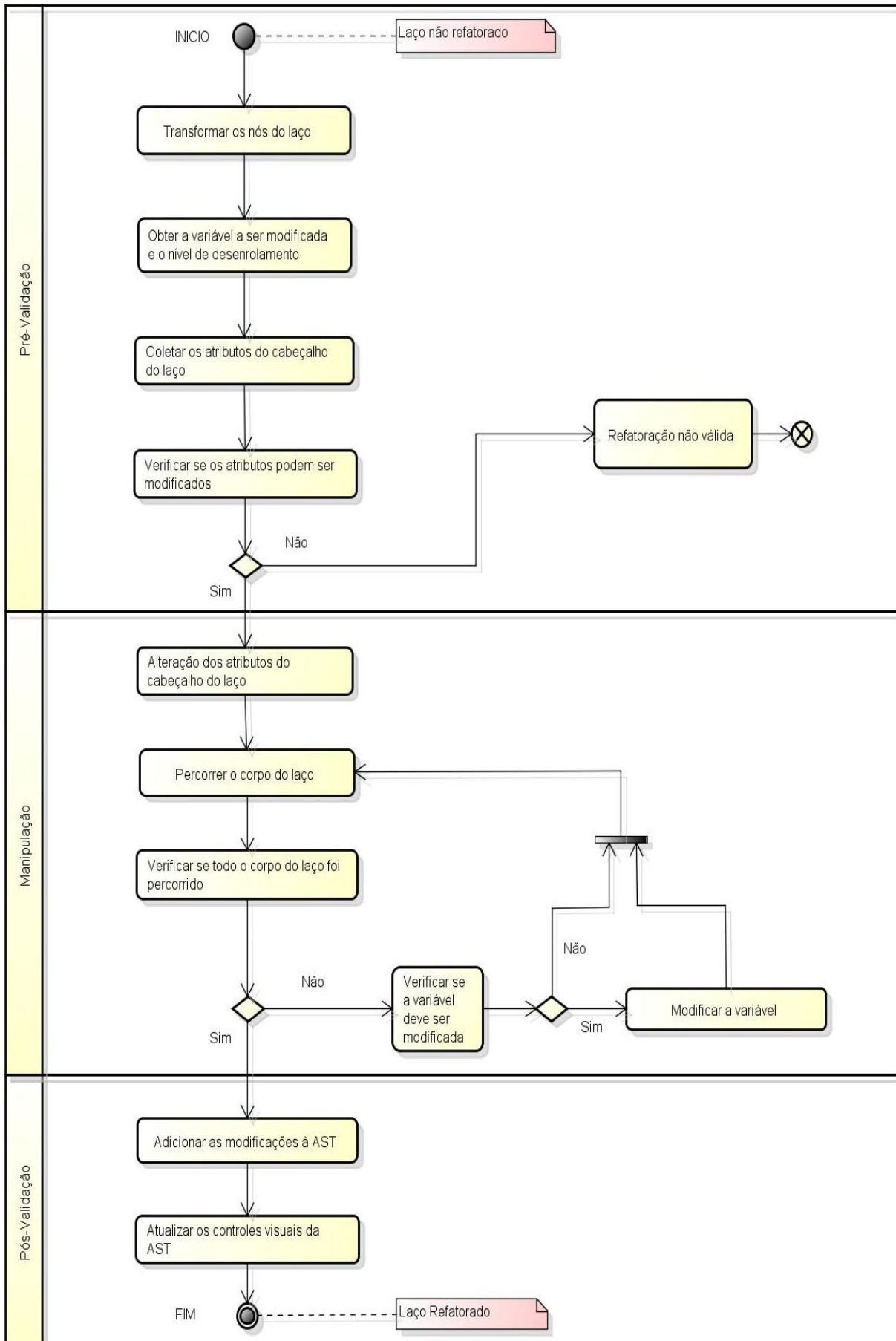


Figura 5.1: Diagrama de atividades do algoritmo de refatoração *Unroll and Jam*.

- `IASTListNodeExecutionPartConstruct`: nó corpo do laço constituído por uma lista de nós.
- `ASTEndDoStmtNode`: nó finalizador do laço.

O nó raiz do laço de iteração é obtido através do método `getLoopNode()` e os índices dos cabeçalhos dos laços são coletados através do método `getLoopHeader()`. Para cada índice é utilizado o método `getLoopControl().getUb().findFirstToken().getText()` para obter o valor do índice e verificar através de `checkHeaders()` se o valor do índice do laço de iteração pode ser modificado. O método `getFactor()` é responsável por obter o índice de desenrolamento desejado na refatoração.

5.2 Manipulação

Após as etapas da fase de pré-validação estarem finalizadas, se a validação da alteração do índice de iteração for positiva, então o método `getLoopControl().getUb().findFirstToken().setText()` é utilizado para armazenar o novo valor do índice de iteração. Posteriormente, através do método `modifyTheBody()` é realizada a alteração das variáveis que devem ser refatoradas no bloco de instruções do laço.

Dentro do método `modifyTheBody()`, o corpo do laço é obtido através do método `getBody()` e o método `accept(new GenericASTVisitorWithLoops())` é utilizado para percorrer os `tokens` do corpo do laço e identificar as variáveis que devem ser modificadas de acordo com o índice de desenrolamento obtido na fase de pré-validação. No algoritmo 5.1 abaixo é possível verificar como é realizado as mudanças das variáveis:

Código 5.1: Algoritmo de alteração dos `tokens`

```

1  for (i = 0; i < uf1; i++){
2      oldBody.accept(new GenericASTVisitorWithLoops(){
3          @Override public void visitToken(Token token){
4              sb.append(SourcePrinter.getSourceCodeFromASTNode(token));
5              if (i != 0)
6                  if (token.getText().contentEquals(sb1))
7                      sb.append(" + "+i);
8              }
9          });
10     sb.append("\n");
11 }

```

Neste trecho de código é possível observar que o método `getSourceCodeFromASTNode()` é utilizado para obter o token, e o método `append()` é utilizado para armazenar o novo valor do token.

5.3 Pós-validação

Ao término da refatoração, o método `addChangeFromModifiedAST()` é utilizado para adicionar as modificações realizadas na AST utilizada pelo Photran, e o método `releaseAllASTs()` é executado para forçar o Photran a atualizar os controles visuais da AST assim como sua própria validação.

5.4 Arquitetura

A implementação e integração de ações de refatoração no Photran necessita estender comportamentos de três classes (CHEN et al., 2008), na Figura 5.2 é possível observar o diagrama de classes da ação de refatoração *Unroll and Jam*.

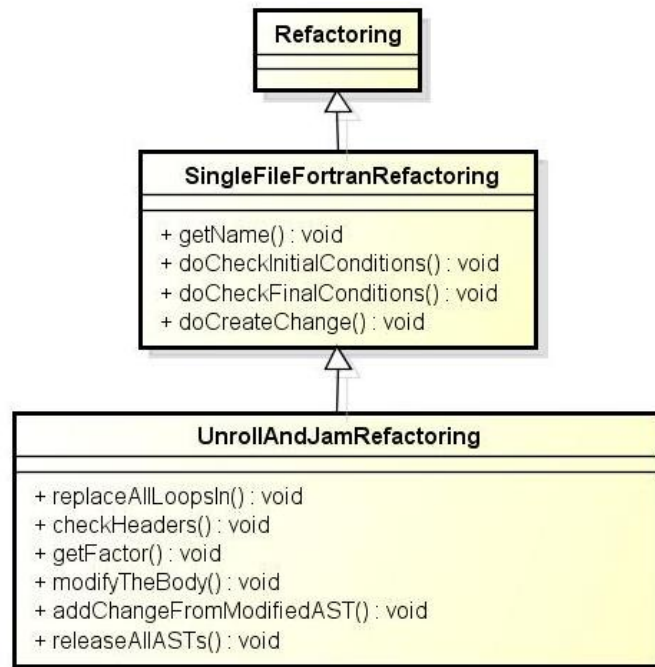


Figura 5.2: Diagrama de classes da refatoração *Unroll and Jam*.

A primeira classe responsabiliza-se por receber a chamada do usuário e associar a ação de refatoração com seu respectivo assistente. Essa classe deve estender a classe *AbstractFortranRefactoringActionDelegate* e deve implementar os métodos de duas interfaces: *IWorkbenchWindowActionDelegate*, a qual permite que a chamada do usuário seja feita a partir do menu principal do Eclipse, e a *IEditorActionDelegate* que permite que a chamada do usuário seja feita a partir de um menu de contexto no próprio editor.

A segunda classe a ser estendida é a classe assistente da refatoração, cujo objetivo tem de solicitar alguma ação do usuário sobre alguma informação adicional para que possa ser executada na refatoração. Essa classe é estendida de *AbstractFortranRefactoringWizard* e basicamente se responsabiliza pela construção gráfica da janela do assistente. O método construtor desta classe recebe como parâmetro um objeto para a terceira classe necessária: a ação de refatoração.

A terceira e principal classe a ser codificada é a ação da refatoração. Essa classe estende a superclasse *SingleFileFortranRefactoring* que por sua vez estende a classe *Refactoring*. Nessa classe, quatro métodos precisam ser codificados:

- `getName()`: responsável por fornecer o título da refatoração *Unroll and Jam*.
- `doCheckInitialConditions()`: método utilizado para iniciar a ação de refatoração, o qual é utilizado para verificar pré-validações da modificação dos laços. Pode propagar uma exceção da classe *PreconditionFailure* indicando que alguma condição para a ação de refatoração não foi satisfeita e que a mesma não pode ser realizada.

- `doCheckFinalConditions()`: método utilizado para finalizar a ação de refatoração, o qual pode ser utilizado para realizar pós-validações na alteração dos laços. Da mesma forma que o método anterior, também pode utilizar exceções da classe *PreconditionFailure* para indicar que a refatoração não foi realizada.
- `doCreateChange()`: método principal que implementa a ação de refatoração *Unroll and Jam*.

Uma vez que as classes estão implementadas, é necessário alterar o arquivo *plugin.xml* do pacote *org.eclipse.photran.ui.vgp* para indicar ao Eclipse que existem novos pontos de extensão que precisam ser disponibilizados (BONIATI; CHARAO, 2008). Na Tabela 5.1 é possível observar os métodos utilizados para cada fase da implementação.

Pré-validação	Manipulação	Pós-validação
<i>replaceAllLoopsIn()</i>	<i>modifyTheBody()</i>	<i>addChangeFromModifiedAST()</i>
<i>checkHeaders()</i>		<i>releaseAllASTs()</i>
<i>getFactor()</i>		

Tabela 5.1: Métodos utilizados em cada fase da implementação.

5.5 Usabilidade

A refatoração *Unroll and Jam* pode ser aplicada a qualquer tipo de estrutura de laços de repetição, no qual o programador deverá fornecer um laço de repetição através de uma seleção de código começando com uma instrução DO e encerrando por uma instrução END DO, com isto formando um bloco de código único. O laço selecionado deverá conter uma variável de controle com uma expressão de inicialização e um limite.

O índice de desenrolamento deverá ser informado pelo programador para cada laço de iteração. É importante salientar que a variável refatorada é modificada dentro de todo o escopo do laço, e que o ambiente Eclipse fornece toda a base necessária de interação com o programador.

6 AVALIAÇÃO DE DESEMPENHO

O capítulo anterior descreveu a implementação da otimização *Unroll and Jam* através da refatoração pelo Photran. A fim de validar o presente trabalho, este capítulo apresenta os resultados de desempenho da implementação.

Na seção 6.1 é descrita a metodologia experimental utilizada para a realização dos experimentos, na seção 6.2 são ilustrados os resultados obtidos, na seção 6.3 é mostrado o código em Assembly do algoritmo de multiplicação de matrizes clássico, e na seção 6.4 é realizada a análise dos resultados obtidos.

6.1 Metodologia Experimental

A metodologia utilizada neste trabalho consiste em determinar o desempenho da otimização *Unroll and Jam* através da refatoração implementada e de diretivas de compilação.

6.1.1 Benchmarks

Os *benchmarks* utilizados na avaliação foram: multiplicação de matrizes clássico com matrizes de 2400x2400, e a subrotina SGTSV da biblioteca Lapack com uma matriz de 22000x22000. Para cada *Benchmark* foram utilizadas 9 versões de algoritmo os quais são:

- Algoritmo original sem otimização.
- 4 Algoritmos otimizados com *Unroll and Jam* pelo compilador intel através do pragma no código DEC UNROLL_AND_JAM, com índices de desenrolamento 2, 4, 8 e 16.
- 4 Algoritmos otimizados com *Unroll and Jam* pela refatoração com índices de desenrolamento 2, 4, 8 e 16.

Para o algoritmo da subrotina SGTSV da biblioteca Lapack, foi gerada uma versão de algoritmo que implementa para o mesmo laço a otimização pelo compilador e pela refatoração. O pragma de otimização do compilador é aplicada mais externamente ao laço, enquanto que a otimização da refatoração é realizada mais internamente.

Para cada versão são realizadas 30 execuções, onde é avaliado o tempo de execução (segundos), o número de leituras na memória cache L1 através do Vtune Amplifier, e o *speed-up* (S) das otimizações para cada índice de desenrolamento (ID).

6.1.2 Arquitetura

Os experimentos foram realizados em uma arquitetura *multi-core* com a seguinte configuração:

- Processador Intel Core 2 Duo T8100 2.10 GHz.
- 64KB(32KB para dados e para instruções) de Cache L1 por core, 3MB Cache L2, 4GB RAM.
- Sistema Operacional GNU-Linux Kernel 2.6.35-24.
- Compilador Intel 12.0.2.
- Analisador Vtune Amplifier XE 2011.

6.2 Resultados

Nesta seção são descritos os resultados dos *benchmarks* citados anteriormente.

6.2.1 Multiplicação de matrizes

O algoritmo de multiplicação de matrizes clássico consiste em um bloco de instruções com três níveis de laços aninhados. Nesta versão, a otimização consistiu no desenrolamento do laço mais externo do algoritmo. Na Fig. 6.1 é possível observar o tempo de execução, e na Fig. 6.2 o número de requisições de leitura na memória cache L1 para as diferentes versões otimizadas. Na Fig 6.1 observa-se que de modo geral, a refatoração obteve um melhor desempenho em relação ao uso das opções de otimização do compilador.

Mais especificamente para a versão refatorada, utilizando índices de desenrolamento 2 e 4 foi possível obter os melhores índices de desempenho, obtendo um *speed-up* de 1,01 e 1,03 respectivamente. Porém ao aumentar o índice de desenrolamento (8 e 16), ocorre uma perda de desempenho. Da mesma forma, na otimização pelo compilador, também houve uma queda de desempenho ao utilizar o índice de desenrolamento 16. Esta perda de desempenho em ambos tipos de otimizações, é devido à superação do limite ideal de desenrolamento para os laços.

Nota-se que o mesmo comportamento do gráfico da Fig. 6.1 também é obtido no número de requisições de leitura na memória cache L1 obtido pelo Vtune Amplifier (Fig. 6.2).

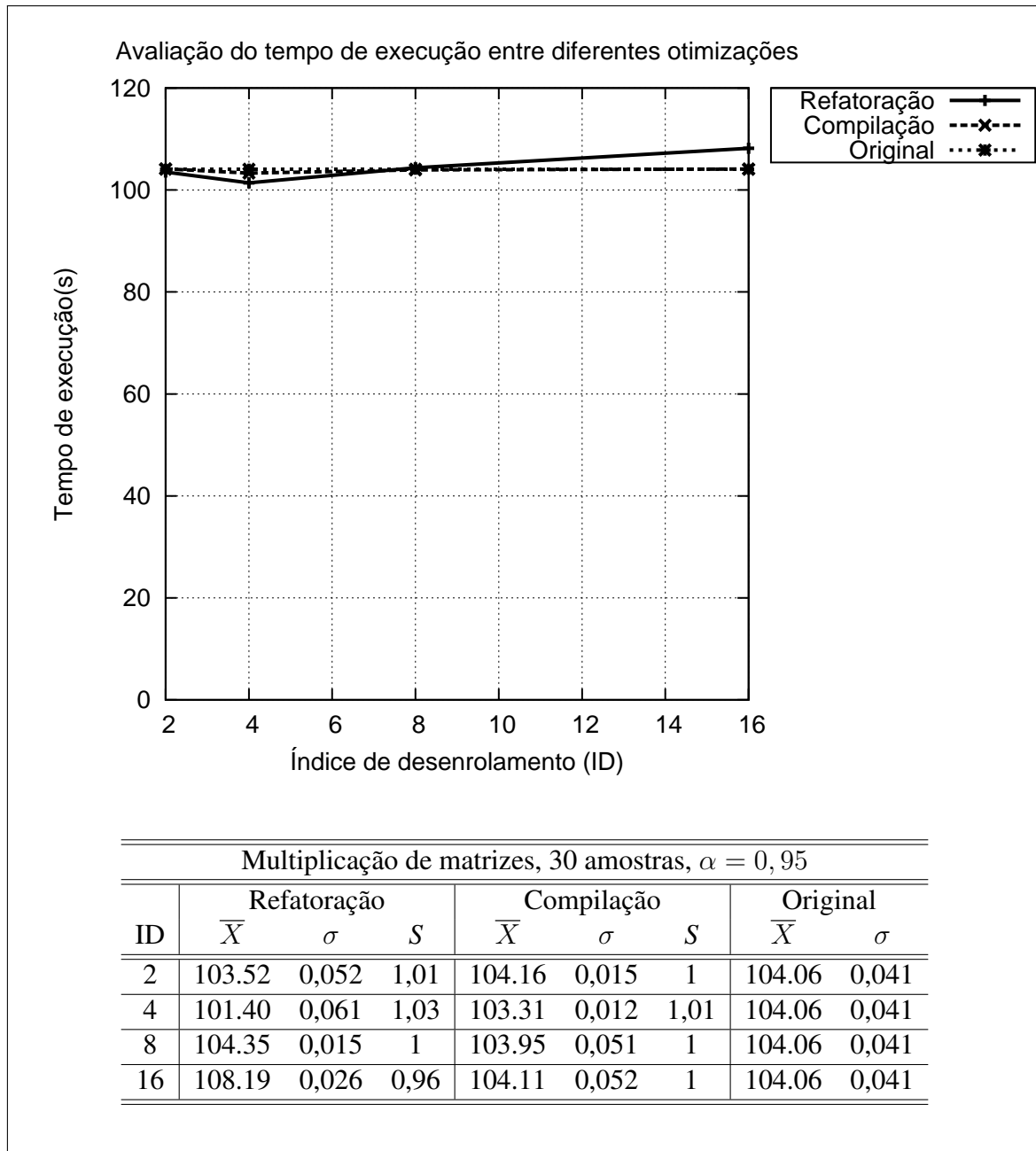


Figura 6.1: Tempo de execução do algoritmo multiplicação de matrizes

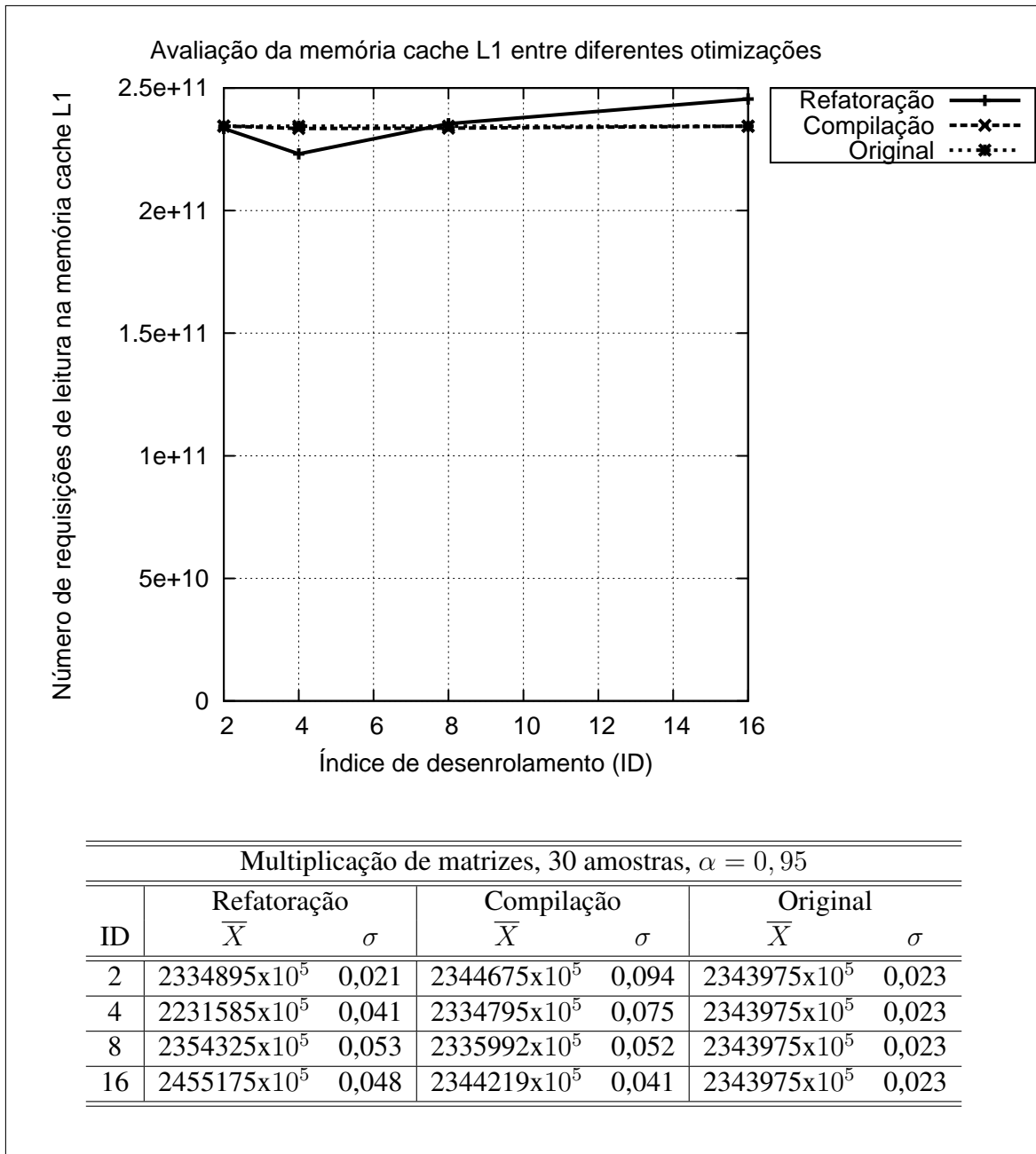


Figura 6.2: Número de requisições de leitura na memória cache L1 do algoritmo multiplicação de matrizes

6.2.2 Subrotina SGTSV da biblioteca Lapack v.1

Esta aplicação consiste na subrotina SGTSV da biblioteca Lapack (versão 3.3.1) que resolve problemas de equações lineares do tipo $A * X = B$, onde A é uma matriz tridiagonal $n \times n$, através de eliminação gaussiana com pivotamento parcial.

Nesta subrotina os laços que percorrem as colunas da matriz foram otimizados. Na Fig. 6.3 é possível observar o tempo de execução, e na Fig. 6.4 o número de requisições de leitura na memória cache L1 para as diferentes versões.

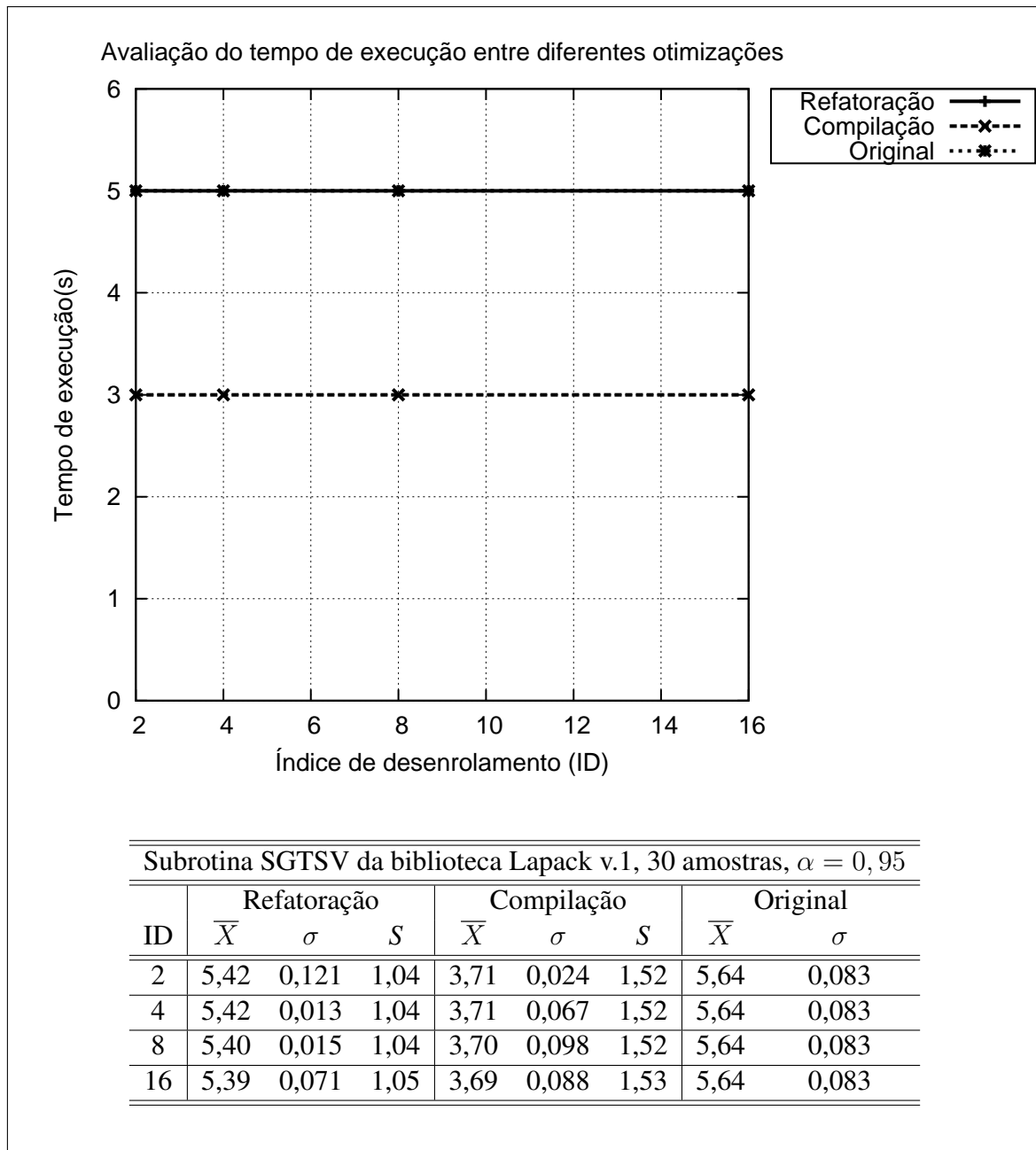


Figura 6.3: Tempo de execução da subrotina SGTSV da biblioteca Lapack v.1.

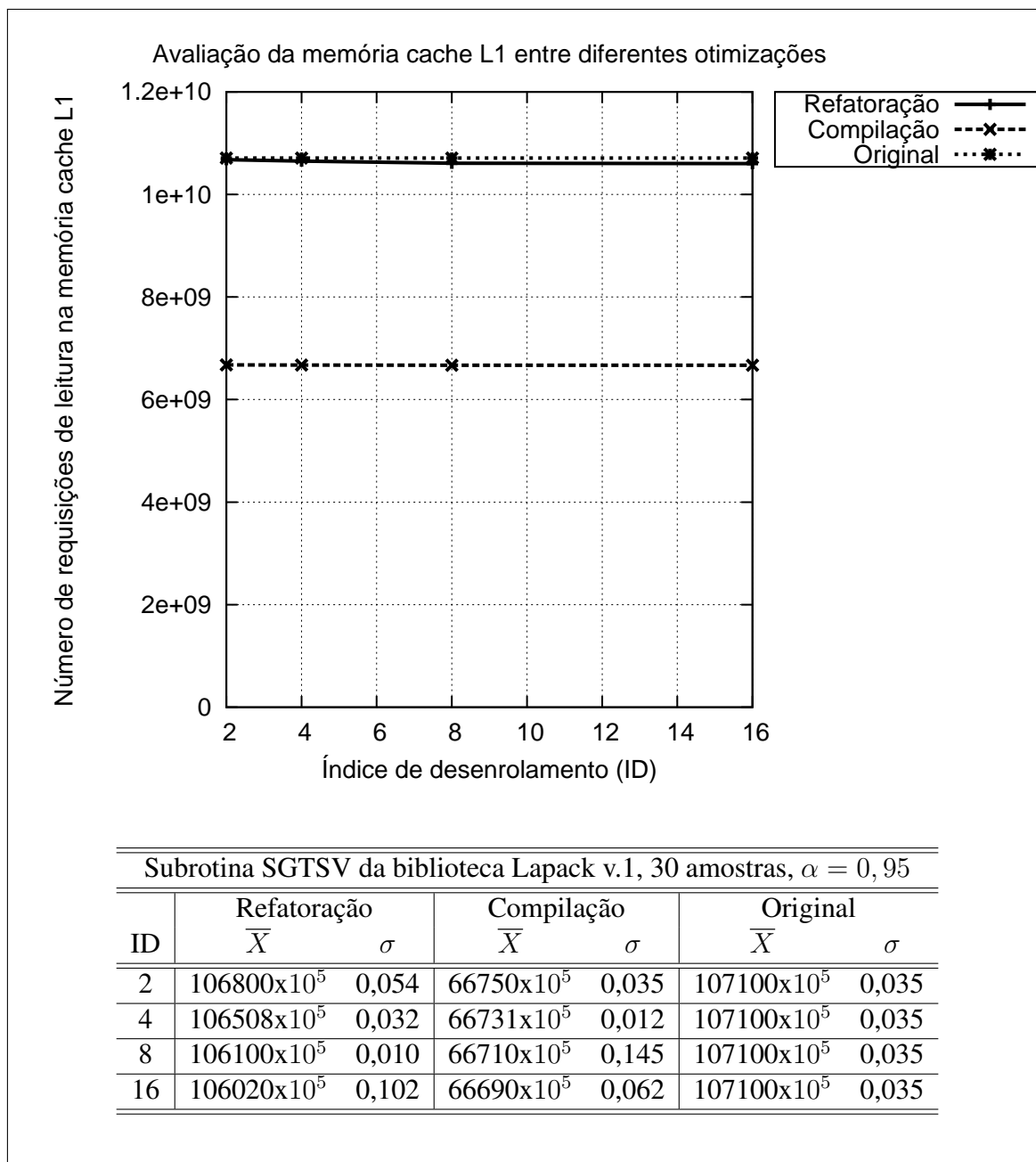


Figura 6.4: Número de requisições de leitura na memória cache L1 da subrotina SGTSV da biblioteca Lapack v.1.

Nesta versão os melhores índices de desempenho foram obtidos pelos algoritmos otimizados pelo compilador. O tempo de execução foi praticamente similar para os diferentes índices de desenrolamento (Fig. 6.3), o mesmo comportamento é obtido pelo número de requisições de leitura na memória cache L1 (Fig. 6.4). O *speed-up* máximo alcançado pela compilação foi de 1,53, enquanto que pela refatoração o maior *speed-up* foi de 1,05. A partir destes resultados, na seguinte versão foi avaliada a utilização de ambas as técnicas de otimização.

6.2.3 Subrotina SGTSV da biblioteca Lapack v.2

Nesta versão foi aplicada a otimização conjunta pelo pragma de otimização DEC UNROLL_AND_JAM do compilador e pela refatoração. Na Fig. 6.5 é possível observar o tempo de execução, e na Fig. 6.6 o número de requisições de leitura na memória cache L1 para as diferentes versões.

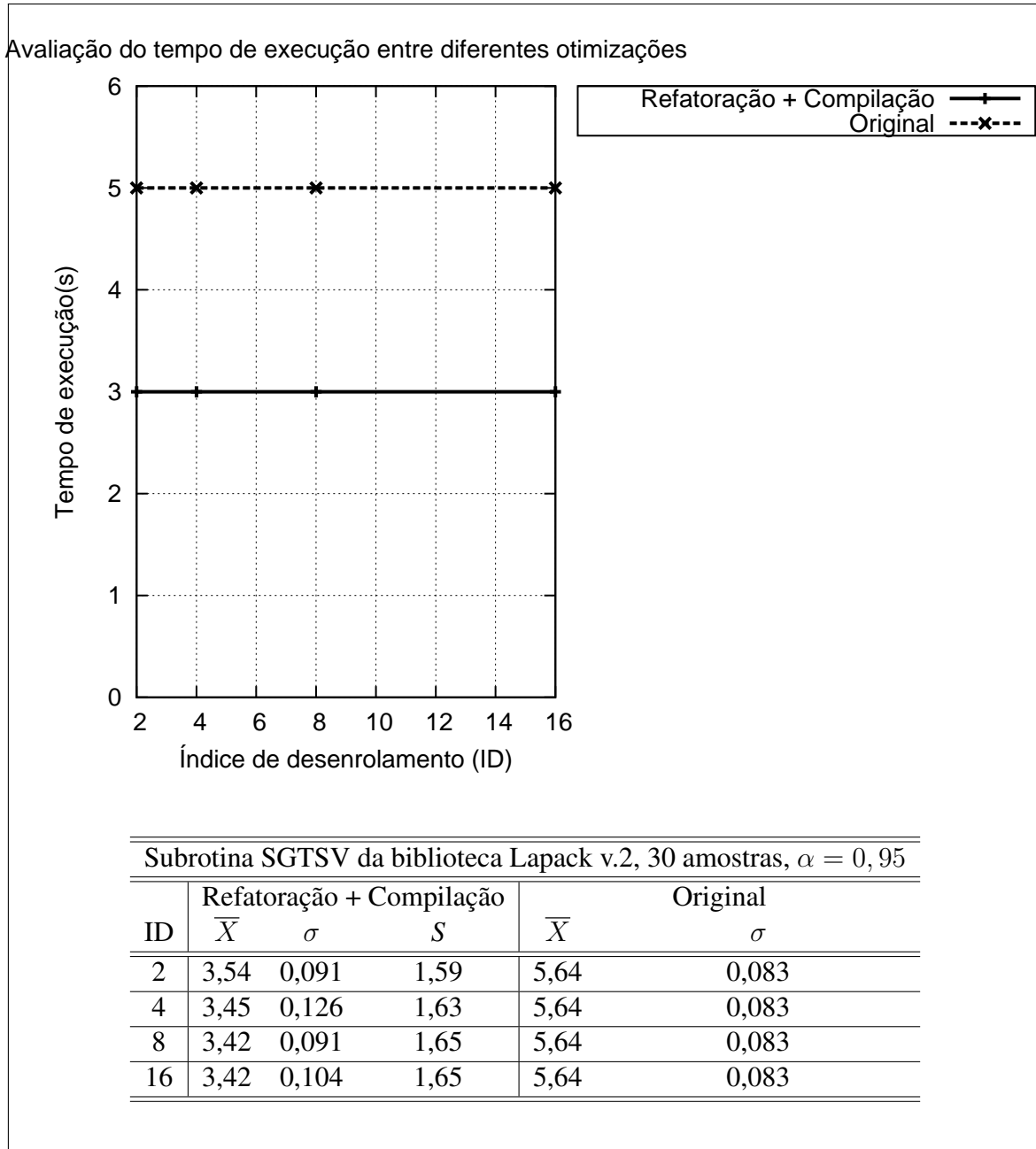


Figura 6.5: Tempo de execução da subrotina SGTSV da biblioteca Lapack v.2.

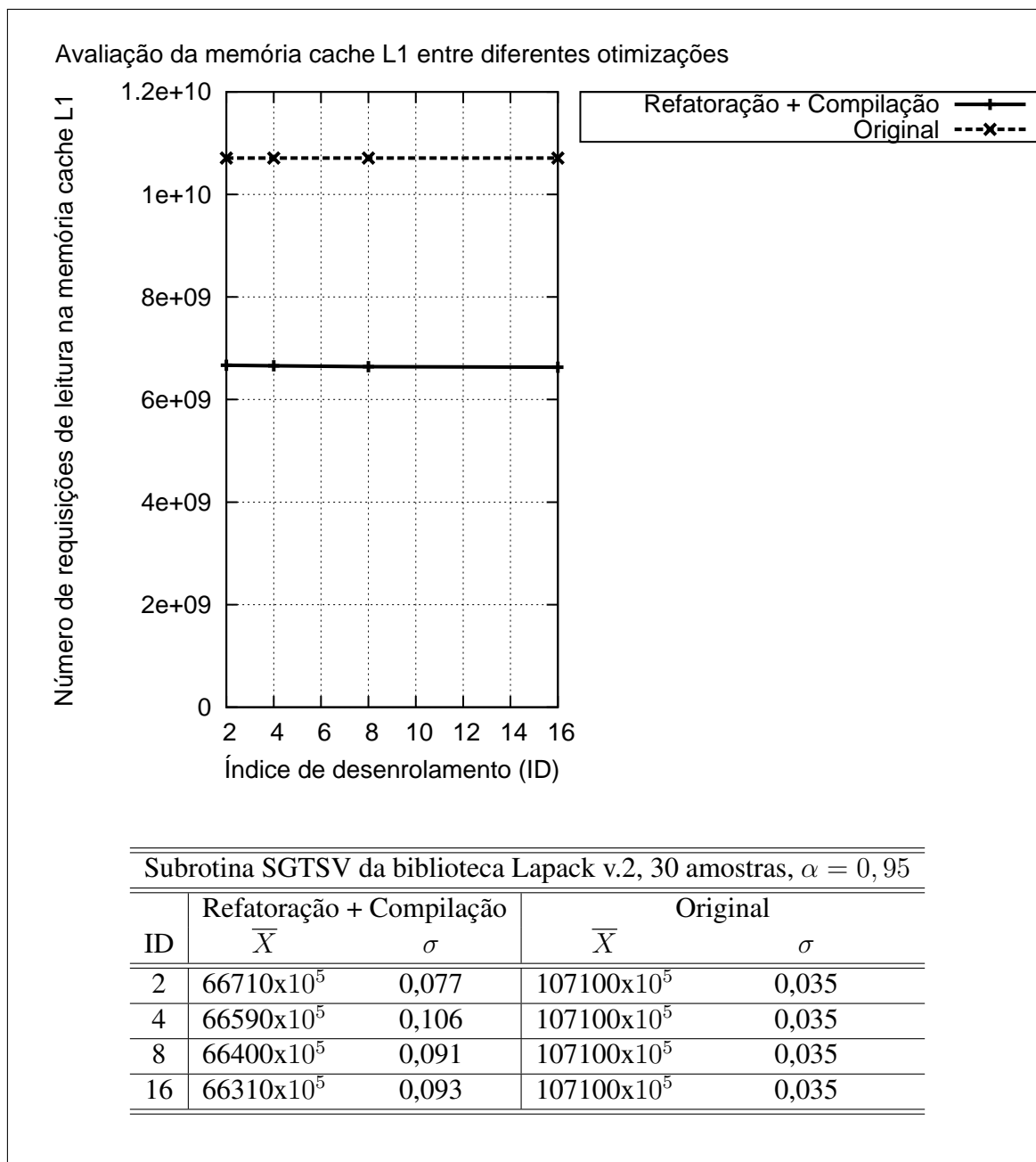


Figura 6.6: Número de requisições de leitura na memória cache L1 da subrotina SGTSV da biblioteca Lapack v.2.

Como pode ser visto na Fig. 6.5, nesta versão foram obtidos os melhores índices de desempenho para a subrotina SGTSV da biblioteca Lapack. A combinação de ambas as técnicas gerou um *speed-up* de 1,65, sendo superior ao *speed-up* de 1,53 obtido pela otimização da compilação. O mesmo ganho de desempenho é refletido no número de requisições de leitura na memória cache L1 (Fig. 6.6).

6.3 Geração de código em Assembly

Para avaliar o desempenho do algoritmo multiplicação de matrizes com índice de desenrolamento 2, foi analisado o código Assembly gerado pelo compilador da Intel através do pragma DEC UNROLL_AND_JAM e o código Assembly gerado pela refatoração. No

Apêndice, no código 7.1 é possível observar que o código gerado pela refatoração teve menor número de acessos à memória, enquanto que no código 7.2 obtido pelas diretivas de otimização do compilador, ocorre um maior número de acessos à memória.

Este menor número de acesso à memória reflete diretamente no tempo de execução das aplicações. Sendo assim, estas avaliações no código Assembly justificam os resultados de desempenho obtidos pelo algoritmo citado na subseção anterior.

6.4 Análise dos resultados

Em relação aos resultados obtidos nos *benchmarks* anteriores, é possível afirmar que através do aumento do índice de desenrolamento, houve um impacto positivo no desempenho nas versões otimizadas pela refatoração.

Os melhores resultados obtidos pela refatoração foram na versão refatorada da multiplicação de matrizes. Estes ganhos de desempenho são devidos à menor necessidade de acesso à memória cache L1 para obtenção de dados, fazendo utilização de modo mais eficiente dos registradores disponíveis.

Porém a partir do índice de desenrolamento 8 na versão refatorada da multiplicação de matrizes, houve uma perda de desempenho, sendo assim, é possível afirmar que o índice de desenrolamento nos laços possui um limite para obtenção de bons índices de desempenho. Isto significa que ao superar este limite, o desempenho é comprometido. Neste sentido, é necessário avaliar até que ponto o índice de desenrolamento da refatoração pode ser benéfico para os laços.

Também é possível destacar que a utilização dos pragmas de otimização do compilador e dos desenrolamentos da refatoração, indicaram que melhores índices de desempenho podem ser obtidos se ambas as técnicas foram aplicadas juntamente ao laço.

7 CONCLUSÕES E TRABALHOS FUTUROS

Este trabalho implementou o emprego da otimização *Unroll and Jam* através de mecanismos de refatoração do código fonte, por meio da inserção, e realocação dos blocos de instruções. Os benefícios da utilização de *Unroll and Jam* são consideráveis para o desempenho das aplicações, pois esta técnica reestrutura os laços de iteração fazendo que as aplicações utilizem os recursos da arquitetura disponíveis de modo eficiente.

Os resultados de desempenho validaram o presente trabalho e demonstraram que é possível obter melhores índices de desempenho através dos índices de desenrolamento de laços realizados pela refatoração. Porém é necessário avaliar a natureza da aplicação, para saber melhor qual técnica de otimização deve ser utilizada.

Os resultados obtidos na utilização conjunta da otimização realizada pela refatoração e pela compilação foram superiores aos resultados encontrados nos *Benchmarks* que foram otimizados por uma única técnica de otimização. Isto quer dizer que o pré-processamento do código fonte possibilita que o otimizador do compilador faça um trabalho mais eficiente de desenrolamento.

Sob um ponto de vista mais amplo, a otimização assistida pela refatoração possibilita que durante a fase de desenvolvimento o programador tenha um controle mais preciso das otimizações no código fonte.

Ambientes de desenvolvimento integrado que implementam a otimização assistida pela refatoração, podem fornecer funcionalidades que indiquem ao programador quais são os melhores índices de desenrolamento para cada laço de iteração do código fonte. A partir desta interatividade, é possível obter um código fonte otimizado pronto para futuras otimizações do compilador e paralelizações.

Como trabalho futuro é necessário que novas pesquisas possam ser realizadas para a obtenção de índices de desenrolamento ótimos na refatoração. Também é interessante que haja estudos na aplicação conjunta de diferentes abordagens de otimização.

Outros trabalhos futuros podem ser destacados, como o estudo de outros tipos de otimização que possam ser aplicados através da refatoração.

APÊNDICE

Os códigos a seguir ilustram os diferentes números de acesso à memória do algoritmo de multiplicação de matrizes, com índice de desenrolamento 2, otimizado pela refatoração (código 7.1) e pelo compilador (código 7.2).

Código 7.1: Código Assembly gerado pelo compilador Intel através da refatoração

```

1 # mark_begin ;
2     .align    2,0x90
3     .globl MAIN__
4 MAIN__:
5     ..B1.1:                                # Preds ..B1.0
6         pushl    %ebx                        #1.9
7         movl    %esp, %ebx                    #1.9
8         andl    $-16, %esp                    #1.9
9         pushl    %ebp                        #1.9
10        pushl    %ebp                        #1.9
11        movl    4(%ebx), %ebp                  #1.9
12        movl    %ebp, 4(%esp)                 #1.9
13        movl    %esp, %ebp                    #1.9
14        subl    $88, %esp                     #1.9
15        movl    %esi, -20(%ebp)               #1.9
16        movl    $.L_2_LITPACK_0.0.1, (%esp)  #1.9
17        call    for_set_reentrancy           #1.9
18                                # LOE
19     ..B1.19:                                # Preds ..B1.1
20         addl    $16, %esp                     #1.9
21                                # LOE
22     ..B1.2:                                  # Preds ..B1.19
23         movl    $1, -12(%ebp)                #5.2
24                                # LOE
25     ..B1.3:                                  # Preds ..B1.5 ..B1.2
26         movl    $1, -8(%ebp)                 #6.10
27                                # LOE
28     ..B1.4:                                  # Preds ..B1.4 ..B1.3
29         movl    -8(%ebp), %eax                #7.5
30         imull   $9600, %eax, %eax            #7.5
31         movl    $matrix_multiplication_$A.0.1, %edx #7.5
32         addl    %eax, %edx                    #7.5
33         addl    $-9600, %edx                 #7.5
34         movl    -12(%ebp), %eax             #7.5
35         imull   $4, %eax, %eax              #7.5
36         addl    %eax, %edx                    #7.5
37         addl    $-4, %edx                    #7.5
38         movl    $1, (%edx)                  #7.5
39         movl    -8(%ebp), %eax              #8.5

```

```

40     imull    $9600, %eax, %eax           #8.5
41     movl    $matrix_multiplication_$B.0.1, %edx   #8.5
42     addl    %eax, %edx                   #8.5
43     addl    $-9600, %edx                 #8.5
44     movl    -12(%ebp), %eax             #8.5
45     imull    $4, %eax, %eax              #8.5
46     addl    %eax, %edx                   #8.5
47     addl    $-4, %edx                    #8.5
48     movl    $1, (%edx)                   #8.5
49     movl    -8(%ebp), %eax              #9.5
50     imull    $9600, %eax, %eax           #9.5
51     movl    $matrix_multiplication_$C.0.1, %edx   #9.5
52     addl    %eax, %edx                   #9.5
53     addl    $-9600, %edx                 #9.5
54     movl    -12(%ebp), %eax             #9.5
55     imull    $4, %eax, %eax              #9.5
56     addl    %eax, %edx                   #9.5
57     addl    $-4, %edx                    #9.5
58     movl    $1, (%edx)                   #9.5
59     movl    $1, %eax                     #10.3
60     addl    -8(%ebp), %eax               #10.3
61     movl    %eax, -8(%ebp)               #10.3
62     movl    -8(%ebp), %eax              #10.3
63     cmpl    $2400, %eax                  #10.3
64     jle     ..B1.4                        # Prob 50%   #10.3
65                                     # LOE
66 ..B1.5:                                # Preds ..B1.4
67     movl    $1, %eax                       #11.2
68     addl    -12(%ebp), %eax               #11.2
69     movl    %eax, -12(%ebp)               #11.2
70     movl    -12(%ebp), %eax               #11.2
71     cmpl    $2400, %eax                  #11.2
72     jle     ..B1.3                        # Prob 50%   #11.2
73                                     # LOE
74 ..B1.6:                                # Preds ..B1.5
75     addl    $-16, %esp                     #12.8
76     lea    -32(%ebp), %eax                #12.17
77     movl    %eax, (%esp)                  #12.17
78     call   for_cpusec                     #12.8
79                                     # LOE
80 ..B1.20:                               # Preds ..B1.6
81     addl    $16, %esp                      #12.8
82                                     # LOE
83 ..B1.7:                                # Preds ..B1.20
84     movl    $1, -4(%ebp)                  #13.3
85                                     # LOE
86 ..B1.8:                                # Preds ..B1.12 ..B1.7
87     movl    $1, -8(%ebp)                  #14.4
88                                     # LOE
89 ..B1.9:                                # Preds ..B1.11 ..B1.8
90     movl    $1, -12(%ebp)                 #15.7
91                                     # LOE
92 ..B1.10:                               # Preds ..B1.10 ..B1.9
93     movl    -8(%ebp), %eax                #16.6
94     imull    $9600, %eax, %eax            #16.6
95     movl    $matrix_multiplication_$A.0.1, %edx   #16.15
96     addl    %eax, %edx                    #16.6
97     addl    $-9600, %edx                  #16.6

```

```

98     movl     -12(%ebp), %eax                #16.15
99     imull   $4, %eax, %eax                #16.15
100    addl    %eax, %edx                    #16.6
101    addl    $-4, %edx                    #16.6
102    movl    -8(%ebp), %eax                #16.24
103    imull   $9600, %eax, %eax             #16.24
104    movl    $matrix_multiplication_$C.0.1, %ecx #16.33
105    addl    %eax, %ecx                    #16.6
106    addl    $-9600, %ecx                  #16.6
107    movl    -4(%ebp), %eax                #16.33
108    imull   $4, %eax, %eax                #16.33
109    addl    %eax, %ecx                    #16.6
110    addl    $-4, %ecx                     #16.6
111    movl    -4(%ebp), %eax                #16.15
112    imull   $9600, %eax, %eax             #16.15
113    movl    $matrix_multiplication_$B.0.1, %esi #16.24
114    addl    %eax, %esi                    #16.6
115    addl    $-9600, %esi                  #16.6
116    movl    -12(%ebp), %eax              #16.24
117    imull   $4, %eax, %eax                #16.24
118    addl    %eax, %esi                    #16.6
119    addl    $-4, %esi                     #16.6
120    movl    (%ecx), %eax                  #16.33
121    imull   (%esi), %eax                  #16.31
122    addl    (%edx), %eax                  #16.6
123    movl    -8(%ebp), %edx                #16.22
124    imull   $9600, %edx, %edx             #16.22
125    movl    $matrix_multiplication_$A.0.1, %ecx #16.6
126    addl    %edx, %ecx                    #16.6
127    addl    $-9600, %ecx                  #16.6
128    movl    -12(%ebp), %edx              #16.6
129    imull   $4, %edx, %edx                #16.6
130    addl    %edx, %ecx                    #16.6
131    addl    $-4, %ecx                     #16.6
132    movl    %eax, (%ecx)                  #16.6
133    movl    -8(%ebp), %eax                #17.7
134    imull   $9600, %eax, %eax             #17.7
135    movl    $matrix_multiplication_$A.0.1, %edx #17.16
136    addl    %eax, %edx                    #17.7
137    addl    $-9600, %edx                  #17.7
138    movl    -12(%ebp), %eax              #17.16
139    imull   $4, %eax, %eax                #17.16
140    addl    %eax, %edx                    #17.7
141    addl    $-4, %edx                     #17.7
142    movl    -8(%ebp), %eax                #17.25
143    imull   $9600, %eax, %eax             #17.25
144    movl    $matrix_multiplication_$C.0.1, %ecx #17.36
145    addl    %eax, %ecx                    #17.7
146    addl    $-9600, %ecx                  #17.7
147    movl    $1, %eax                      #17.7
148    addl    -4(%ebp), %eax                #17.36
149    imull   $4, %eax, %eax                #17.36
150    addl    %eax, %ecx                    #17.7
151    addl    $-4, %ecx                     #17.7
152    movl    $1, %eax                      #17.7
153    addl    -4(%ebp), %eax                #17.16
154    imull   $9600, %eax, %eax             #17.16
155    movl    $matrix_multiplication_$B.0.1, %esi #17.25

```



```

156     addl    %eax, %esi                #17.7
157     addl    $-9600, %esi             #17.7
158     movl    -12(%ebp), %eax         #17.25
159     imull   $4, %eax, %eax          #17.25
160     addl    %eax, %esi                #17.7
161     addl    $-4, %esi                #17.7
162     movl    (%ecx), %eax            #17.36
163     imull   (%esi), %eax            #17.34
164     addl    (%edx), %eax            #17.7
165     movl    -8(%ebp), %edx          #17.23
166     imull   $9600, %edx, %edx       #17.23
167     movl    $matrix_multiplication_$A.0.1, %ecx #17.7
168     addl    %edx, %ecx              #17.7
169     addl    $-9600, %ecx            #17.7
170     movl    -12(%ebp), %edx         #17.7
171     imull   $4, %edx, %edx          #17.7
172     addl    %edx, %ecx              #17.7
173     addl    $-4, %ecx               #17.7
174     movl    %eax, (%ecx)            #17.7
175     movl    $1, %eax                #18.6
176     addl    -12(%ebp), %eax         #18.6
177     movl    %eax, -12(%ebp)         #18.6
178     movl    -12(%ebp), %eax         #18.6
179     cmpl   $2400, %eax              #18.6
180     jle     ..B1.10                 # Prob 50% #18.6
181                                     # LOE
182 ..B1.11:                            # Preds ..B1.10
183     movl    $1, %eax                #19.4
184     addl    -8(%ebp), %eax          #19.4
185     movl    %eax, -8(%ebp)          #19.4
186     movl    -8(%ebp), %eax         #19.4
187     cmpl   $2400, %eax              #19.4
188     jle     ..B1.9                  # Prob 50% #19.4
189                                     # LOE
190 ..B1.12:                            # Preds ..B1.11
191     movl    $2, %eax                #20.3
192     addl    -4(%ebp), %eax          #20.3
193     movl    %eax, -4(%ebp)          #20.3
194     movl    -4(%ebp), %eax         #20.3
195     cmpl   $2400, %eax              #20.3
196     jle     ..B1.8                  # Prob 50% #20.3
197                                     # LOE
198 ..B1.13:                            # Preds ..B1.12
199     addl    $-16, %esp              #21.8
200     lea    -28(%ebp), %eax         #21.17
201     movl    %eax, (%esp)            #21.17
202     call   for_cpusec               #21.8
203                                     # LOE
204 ..B1.21:                            # Preds ..B1.13
205     addl    $16, %esp               #21.8
206                                     # LOE
207 ..B1.14:                            # Preds ..B1.21
208     movss  -28(%ebp), %xmm0         #22.3
209     movss  -32(%ebp), %xmm1         #22.3
210     subss  %xmm1, %xmm0             #22.3
211     movss  %xmm0, -24(%ebp)         #22.3
212     movl   $0, -72(%ebp)            #23.3
213     movl   $10, -40(%ebp)           #23.3

```

```

214     movl    $.L_2_STRLITPACK_0, -36(%ebp)      #23.3
215     addl    $-32, %esp                          #23.3
216     lea    -72(%ebp), %eax                      #23.3
217     movl    %eax, (%esp)                       #23.3
218     movl    $-1, 4(%esp)                       #23.3
219     movl    $-2088435968, 8(%esp)             #23.3
220     movl    $.L_2_STRLITPACK_1.0.1, 12(%esp)  #23.3
221     lea    -40(%ebp), %eax                      #23.3
222     movl    %eax, 16(%esp)                     #23.3
223     movl    $32, 20(%esp)                      #23.3
224     call   for_write_seq_lis                   #23.3
225                                     # LOE
226 ..B1.22:                                     # Preds ..B1.14
227     addl    $32, %esp                          #23.3
228                                     # LOE
229 ..B1.15:                                     # Preds ..B1.22
230     movss  -24(%ebp), %xmm0                    #23.3
231     movss  %xmm0, -16(%ebp)                    #23.3
232     addl    $-16, %esp                          #23.3
233     lea    -72(%ebp), %eax                      #23.3
234     movl    %eax, (%esp)                       #23.3
235     movl    $.L_2_STRLITPACK_2.0.1, 4(%esp)   #23.3
236     lea    -16(%ebp), %eax                      #23.3
237     movl    %eax, 8(%esp)                      #23.3
238     call   for_write_seq_lis_xmit              #23.3
239                                     # LOE
240 ..B1.23:                                     # Preds ..B1.15
241     addl    $16, %esp                          #23.3
242                                     # LOE
243 ..B1.16:                                     # Preds ..B1.23
244     movl    $1, %eax                            #24.1
245     movl    -20(%ebp), %esi                     #24.1
246     leave                                #24.1
247     movl    %ebx, %esp                         #24.1
248     popl   %ebx                                #24.1
249     ret                                #24.1
250     .align 2,0x90
251                                     # LOE
252 # mark_end;

```

Código 7.2: Código Assembly gerado pelo compilador Intel através das diretivas de otimização

```

1 # mark_begin;
2     .align 16,0x90
3     .globl MAIN__
4 MAIN__:
5 ..B1.1:                                     # Preds ..B1.0
6     pushl  %ebp                                #1.9
7     movl  %esp, %ebp                          #1.9
8     andl  $-128, %esp                          #1.9
9     pushl  %ebx                                #1.9
10     subl  $632, %esp                          #1.9
11     pushl  $3                                  #1.9
12     call  __intel_new_proc_init                #1.9
13                                     # LOE esi edi
14 ..B1.65:                                     # Preds ..B1.1
15     stmxcsr 128(%esp)                          #1.9

```

```

16      orl      $32768, 128(%esp)          #1.9
17      ldmxcsr 128(%esp)                  #1.9
18      addl    $4, %esp                    #1.9
19      pushl   $.L_2_LITPACK_0.0.1       #1.9
20      call    for_set_reentrancy        #1.9
21                                     # LOE esi edi
22 ..B1.2:                                     # Preds ..B1.65
23      movdqa  .L_2il0floatpacket.0, %xmm0 #
24      xorl    %eax, %eax                  #
25                                     # LOE eax esi edi xmm0
26 ..B1.3:                                     # Preds ..B1.3 ..B1.2
27      movntdq %xmm0, matrix_multiplication_$A.0.1(,%eax,4) #7.5
28      movntdq %xmm0, matrix_multiplication_$B.0.1(,%eax,4) #8.5
29      movntdq %xmm0, matrix_multiplication_$C.0.1(,%eax,4) #9.5
30      addl    $4, %eax                    #6.10
31      cmpl   $5760000, %eax              #6.10
32      jb     ..B1.3                      # Prob 99%    #6.10
33                                     # LOE eax esi edi xmm0
34 ..B1.4:                                     # Preds ..B1.3
35      addl    $4, %esp                    #12.8
36      lea    164(%esp), %eax             #12.17
37      pushl   %eax                       #12.8
38      call    for_cpusec                 #12.8
39                                     # LOE esi edi
40 ..B1.6:                                     # Preds ..B1.4
41      movdqa  .L_2il0floatpacket.1, %xmm0 #17.32
42      xorl    %edx, %edx                  #14.3
43      movl    %esi, 136(%esp)            #17.32
44      movl    $512, %eax                 #17.32
45      movl    %edi, 140(%esp)            #17.32
46                                     # LOE eax edx xmm0
47 ..B1.7:                                     # Preds ..B1.53 ..B1.6
48      movl    %edx, %ebx                  #14.3
49      xorl    %esi, %esi                  #14.3
50      shll   $9, %ebx                     #14.3
51      negl   %ebx                         #14.3
52      addl    $2400, %ebx                 #14.3
53      cmpl   $512, %ebx                   #14.3
54      movl    %esi, 200(%esp)            #14.3
55      cmova  %eax, %ebx                   #14.3
56      movl    %ebx, %ecx                  #14.3
57      shrl   $1, %ecx                     #14.3
58      movl    %ecx, 144(%esp)            #14.3
59      movl    %ebx, 128(%esp)            #14.3
60      movl    %edx, 164(%esp)            #14.3
61                                     # LOE xmm0
62 ..B1.8:                                     # Preds ..B1.52 ..B1.7
63      movl    200(%esp), %edx             #15.4
64      movl    %edx, %esi                  #15.4
65      shll   $9, %esi                     #15.4
66      movl    $512, %ebx                   #15.4
67      negl   %esi                         #15.4
68      xorl    %eax, %eax                  #14.3
69      addl    $2400, %esi                  #15.4
70      imull  $4915200, %edx, %edx         #
71      cmpl   $512, %esi                   #15.4
72      movl    164(%esp), %edi            #
73      movl    %edi, %ecx                  #

```

```

74      cmova    %ebx, %esi                #15.4
75      imull   $4915200, %edi, %edi      #
76      movl    %esi, %ebx                #15.4
77      shll    $11, %ecx                 #
78      shrl    $2, %ebx                  #15.4
79      addl    %edx, %ecx                 #
80      movl    %edi, 148(%esp)           #
81      movl    %ecx, 152(%esp)           #
82      movl    %edx, 156(%esp)           #
83      movl    %ebx, 172(%esp)           #
84      movl    %esi, 196(%esp)           #
85                                     # LOE eax xmm0
86  ..B1.10:                               # Preds ..B1.8 ..B1.51
87      cmpl    $0, 144(%esp)            #14.3
88      jbe     ..B1.62                   # Prob 0%      #14.3
89                                     # LOE eax xmm0
90  ..B1.11:                               # Preds ..B1.10
91      movl    %eax, %ecx                #16.7
92      movl    $512, %ebx                #16.7
93      shll    $9, %ecx                  #16.7
94      xorl    %edx, %edx                 #
95      negl    %ecx                       #16.7
96      addl    $2400, %ecx                #16.7
97      cmpl    $512, %ecx                #16.7
98      movl    156(%esp), %esi           #
99      cmovae  %ebx, %ecx                #16.7
100     movl    %eax, %ebx                 #
101     shll    $11, %ebx                  #
102     movl    %ecx, 244(%esp)           #
103     movl    %eax, 160(%esp)           #
104     addl    %ebx, %esi                 #
105     addl    148(%esp), %ebx           #
106     movl    %esi, 220(%esp)           #
107     movl    %ebx, 176(%esp)           #
108     movl    152(%esp), %esi           #
109                                     # LOE edx esi xmm0
110  ..B1.12:                               # Preds ..B1.36 ..B1.11
111     cmpl    $0, 172(%esp)            #15.4
112     jbe     ..B1.61                   # Prob 0%      #15.4
113                                     # LOE edx esi xmm0
114  ..B1.13:                               # Preds ..B1.12
115     imull   $19200, %edx, %ecx         #
116     xorl    %edi, %edi                 #
117     addl    176(%esp), %ecx           #
118     lea    (%esi,%edx,8), %ebx         #
119     movl    %edi, 236(%esp)           #
120     movl    %ecx, 520(%esp)           #
121     movl    %ebx, 232(%esp)           #
122     movl    %edi, 188(%esp)           #
123     movl    %edx, 184(%esp)           #
124                                     # LOE
125  ..B1.14:                               # Preds ..B1.22 ..B1.13
126     cmpl    $4, 244(%esp)            #16.7
127     jb     ..B1.60                   # Prob 10%     #16.7
128                                     # LOE
129  ..B1.15:                               # Preds ..B1.14
130     movl    236(%esp), %ebx           #
131     xorl    %ecx, %ecx                 #16.7

```

```

132     movl     232(%esp), %esi                                #17.34
133     movl     220(%esp), %edx                                #
134     movl     244(%esp), %eax                                #16.7
135     movd     matrix_multiplication_$C.0.1(%ebx,%esi), %xmm7 #17.34
136     movd     4+matrix_multiplication_$C.0.1(%ebx,%esi), %xmm0 #17.34
137     addl     %ebx, %edx                                     #
138     pshufd  $0, %xmm7, %xmm7                                #17.34
139     pshufd  $0, %xmm0, %xmm0                                #17.34
140     movd     9600+matrix_multiplication_$C.0.1(%ebx,%esi), %xmm1 #17.34
141     movdqa   %xmm7, 496(%esp)                               #17.34
142     psrlq   $32, %xmm7                                     #17.32
143     movdqa   %xmm7, 480(%esp)                               #17.32
144     movdqa   %xmm0, %xmm7                                  #17.32
145     pshufd  $0, %xmm1, %xmm1                                #17.34
146     psrlq   $32, %xmm7                                     #17.32
147     movd     9604+matrix_multiplication_$C.0.1(%ebx,%esi), %xmm2 #17.34
148     movdqa   %xmm7, 464(%esp)                               #17.32
149     movdqa   %xmm1, %xmm7                                  #17.32
150     pshufd  $0, %xmm2, %xmm2                                #17.34
151     psrlq   $32, %xmm7                                     #17.32
152     movd     19200+matrix_multiplication_$C.0.1(%ebx,%esi), %xmm3 #17.34
153     movdqa   %xmm7, 448(%esp)                               #17.32
154     movdqa   %xmm2, %xmm7                                  #17.32
155     pshufd  $0, %xmm3, %xmm3                                #17.34
156     psrlq   $32, %xmm7                                     #17.32
157     movd     19204+matrix_multiplication_$C.0.1(%ebx,%esi), %xmm4 #17.34
158     movdqa   %xmm7, 432(%esp)                               #17.32
159     movdqa   %xmm3, %xmm7                                  #17.32
160     pshufd  $0, %xmm4, %xmm4                                #17.34
161     psrlq   $32, %xmm7                                     #17.32
162     movd     28800+matrix_multiplication_$C.0.1(%ebx,%esi), %xmm5 #17.34
163     movdqa   %xmm7, 416(%esp)                               #17.32
164     movdqa   %xmm4, %xmm7                                  #17.32
165     pshufd  $0, %xmm5, %xmm5                                #17.34
166     psrlq   $32, %xmm7                                     #17.32
167     movd     28804+matrix_multiplication_$C.0.1(%ebx,%esi), %xmm6 #17.34
168     movl     %eax, %esi                                     #17.32
169     movdqa   %xmm7, 400(%esp)                               #17.32
170     movdqa   %xmm5, %xmm7                                  #17.32
171     pshufd  $0, %xmm6, %xmm6                                #17.34
172     psrlq   $32, %xmm7                                     #17.32
173     movdqa   %xmm7, 384(%esp)                               #17.32
174     movdqa   %xmm6, %xmm7                                  #17.32
175     psrlq   $32, %xmm7                                     #17.32
176     movdqa   %xmm7, 368(%esp)                               #17.32
177     movdqa   %xmm0, 352(%esp)                               #17.32
178     movdqa   %xmm1, 336(%esp)                               #17.32
179     movdqa   %xmm2, 320(%esp)                               #17.32
180     movdqa   %xmm3, 304(%esp)                               #17.32
181     movdqa   %xmm4, 288(%esp)                               #17.32
182     movdqa   %xmm5, 272(%esp)                               #17.32
183     movdqa   %xmm6, 256(%esp)                               #17.32
184     movdqa   .L_2il0floatpacket.1, %xmm7                   #17.32
185     movl     520(%esp), %ebx                                 #17.32
186                                                     # LOE eax edx ecx ebx esi xmm7
187 ..B1.16:                                             # Preds ..B1.16 ..B1.15
188     movdqa   matrix_multiplication_$B.0.1(%ebx,%ecx,4), %xmm6 #17.25
189     movdqa   %xmm6, %xmm5                                   #17.32

```

190	movdqa	496(% esp), %xmm2	#17.32
191	psrlq	\$32 , %xmm5	#17.32
192	movdqa	480(% esp), %xmm0	#17.32
193	pmuludq	%xmm6, %xmm2	#17.32
194	pmuludq	%xmm5, %xmm0	#17.32
195	movdqa	9600+ matrix_multiplication_ \$B .0.1(% ebx,% ecx ,4) , %xmm4	#17.25
196	pand	%xmm7, %xmm2	#17.32
197	psllq	\$32 , %xmm0	#17.32
198	movdqa	%xmm4, %xmm3	#17.32
199	movdqa	464(% esp), %xmm1	#17.32
200	por	%xmm0, %xmm2	#17.32
201	movdqa	352(% esp), %xmm0	#17.32
202	psrlq	\$32 , %xmm3	#17.32
203	pmuludq	%xmm4, %xmm0	#17.32
204	pmuludq	%xmm3, %xmm1	#17.32
205	pand	%xmm7, %xmm0	#17.32
206	psllq	\$32 , %xmm1	#17.32
207	padd	matrix_multiplication_ \$A .0.1(% edx,% ecx ,4) , %xmm2	#17.7
208	por	%xmm1, %xmm0	#17.32
209	padd	%xmm0, %xmm2	#17.7
210	movdqa	%xmm2, matrix_multiplication_ \$A .0.1(% edx,% ecx ,4)	#17.7
211	movdqa	336(% esp), %xmm1	#17.32
212	movdqa	448(% esp), %xmm2	#17.32
213	pmuludq	%xmm6, %xmm1	#17.32
214	pmuludq	%xmm5, %xmm2	#17.32
215	pand	%xmm7, %xmm1	#17.32
216	psllq	\$32 , %xmm2	#17.32
217	movdqa	432(% esp), %xmm0	#17.32
218	por	%xmm2, %xmm1	#17.32
219	movdqa	320(% esp), %xmm2	#17.32
220	pmuludq	%xmm4, %xmm2	#17.32
221	pmuludq	%xmm3, %xmm0	#17.32
222	pand	%xmm7, %xmm2	#17.32
223	psllq	\$32 , %xmm0	#17.32
224	padd	9600+ matrix_multiplication_ \$A .0.1(% edx,% ecx ,4) , %xmm1	#17.7
225	por	%xmm0, %xmm2	#17.32
226	padd	%xmm2, %xmm1	#17.7
227	movdqa	%xmm1, 9600+ matrix_multiplication_ \$A .0.1(% edx,% ecx ,4)	#17.7
228	movdqa	304(% esp), %xmm0	#17.32
229	movdqa	416(% esp), %xmm1	#17.32
230	pmuludq	%xmm6, %xmm0	#17.32
231	pmuludq	%xmm5, %xmm1	#17.32
232	pmuludq	272(% esp), %xmm6	#17.32
233	pmuludq	384(% esp), %xmm5	#17.32
234	pand	%xmm7, %xmm0	#17.32
235	psllq	\$32 , %xmm1	#17.32
236	movdqa	400(% esp), %xmm2	#17.32
237	por	%xmm1, %xmm0	#17.32
238	movdqa	288(% esp), %xmm1	#17.32
239	pand	%xmm7, %xmm6	#17.32
240	pmuludq	%xmm4, %xmm1	#17.32
241	psllq	\$32 , %xmm5	#17.32
242	pmuludq	256(% esp), %xmm4	#17.32
243	pmuludq	%xmm3, %xmm2	#17.32
244	pmuludq	368(% esp), %xmm3	#17.32
245	pand	%xmm7, %xmm1	#17.32
246	psllq	\$32 , %xmm2	#17.32
247	por	%xmm5, %xmm6	#17.32

```

248     pand     %xmm7, %xmm4                #17.32
249     psllq   $32, %xmm3                #17.32
250     por     %xmm2, %xmm1                #17.32
251     paddb   19200+matrix_multiplication_$A.0.1(%edx,%ecx,4), %xmm0 #17.7
252     por     %xmm3, %xmm4                #17.32
253     paddb   28800+matrix_multiplication_$A.0.1(%edx,%ecx,4), %xmm6 #17.7
254     paddb   %xmm1, %xmm0                #17.7
255     paddb   %xmm4, %xmm6                #17.7
256     movdqa  %xmm0, 19200+matrix_multiplication_$A.0.1(%edx,%ecx,4) #17.7
257     movdqa  %xmm6, 28800+matrix_multiplication_$A.0.1(%edx,%ecx,4) #17.7
258     addl    $4, %ecx                    #16.7
259     cmpl    %esi, %ecx                  #16.7
260     jb      ..B1.16                     # Prob 99%          #16.7
261                                     # LOE eax edx ecx ebx esi xmm7
262 ..B1.18:                               # Preds ..B1.16 ..B1.60
263     cmpl    244(%esp), %eax              #16.7
264     jae     ..B1.22                     # Prob 0%          #16.7
265                                     # LOE eax
266 ..B1.19:                               # Preds ..B1.18
267     movl    236(%esp), %esi              #
268     movl    232(%esp), %ebx              #17.34
269     movl    220(%esp), %ecx              #
270     movl    28804+matrix_multiplication_$C.0.1(%esi,%ebx), %edi #17.34
271     movl    %edi, 528(%esp)              #17.34
272     lea    (%ecx,%esi), %edx            #
273     movl    %edx, 240(%esp)              #
274     movl    28800+matrix_multiplication_$C.0.1(%esi,%ebx), %ecx #17.34
275     movl    19200+matrix_multiplication_$C.0.1(%esi,%ebx), %edx #17.34
276     movl    9604+matrix_multiplication_$C.0.1(%esi,%ebx), %edi #17.34
277     movl    %ecx, 540(%esp)              #17.34
278     movl    %edx, 536(%esp)              #17.34
279     movl    %edi, 532(%esp)              #17.34
280     movl    19204+matrix_multiplication_$C.0.1(%esi,%ebx), %ecx #17.34
281     movl    9600+matrix_multiplication_$C.0.1(%esi,%ebx), %edx #17.34
282     movl    4+matrix_multiplication_$C.0.1(%esi,%ebx), %edi #17.34
283     movl    matrix_multiplication_$C.0.1(%esi,%ebx), %ebx #17.34
284     movl    %ecx, 516(%esp)              #17.34
285     movl    %edi, 524(%esp)              #17.34
286     movl    %ebx, 252(%esp)              #17.34
287     movl    %edx, 512(%esp)              #17.34
288     movl    240(%esp), %ecx              #17.34
289                                     # LOE eax ecx
290 ..B1.20:                               # Preds ..B1.20 ..B1.19
291     movl    520(%esp), %edi              #17.25
292     movl    252(%esp), %esi              #17.32
293     movl    matrix_multiplication_$B.0.1(%edi,%eax,4), %ebx #17.25
294     imull   %ebx, %esi                    #17.32
295     movl    9600+matrix_multiplication_$B.0.1(%edi,%eax,4), %edx #17.25
296     movl    524(%esp), %edi              #17.32
297     imull   %edx, %edi                    #17.32
298     addl    matrix_multiplication_$A.0.1(%ecx,%eax,4), %esi #17.7
299     addl    %edi, %esi                    #17.7
300     movl    512(%esp), %edi              #17.32
301     imull   %ebx, %edi                    #17.32
302     movl    %esi, matrix_multiplication_$A.0.1(%ecx,%eax,4) #17.7
303     movl    532(%esp), %esi              #17.32
304     imull   %edx, %esi                    #17.32
305     addl    9600+matrix_multiplication_$A.0.1(%ecx,%eax,4), %edi #17.7

```

```

306     addl    %esi, %edi                                #17.7
307     movl    %edi, 9600+matrix_multiplication_$A.0.1(%ecx,%eax,4) #17.7
308     movl    536(%esp), %edi                          #17.32
309     imull   %ebx, %edi                                #17.32
310     imull   540(%esp), %ebx                          #17.32
311     movl    516(%esp), %esi                          #17.32
312     imull   %edx, %esi                                #17.32
313     imull   528(%esp), %edx                          #17.32
314     addl    19200+matrix_multiplication_$A.0.1(%ecx,%eax,4), %edi #17.7
315     addl    28800+matrix_multiplication_$A.0.1(%ecx,%eax,4), %ebx #17.7
316     addl    %esi, %edi                                #17.7
317     addl    %edx, %ebx                                #17.7
318     movl    %edi, 19200+matrix_multiplication_$A.0.1(%ecx,%eax,4) #17.7
319     movl    %ebx, 28800+matrix_multiplication_$A.0.1(%ecx,%eax,4) #17.7
320     incl    %eax                                       #16.7
321     cmpl   244(%esp), %eax                            #16.7
322     jb     ..B1.20          # Prob 99%                #16.7
323                                     # LOE eax ecx
324 ..B1.22:                                     # Preds ..B1.20 ..B1.18
325     movl    188(%esp), %edx                            #15.4
326     incl    %edx                                       #15.4
327     movl    236(%esp), %eax                            #15.4
328     addl    $38400, %eax                               #15.4
329     movl    %eax, 236(%esp)                            #15.4
330     movl    %edx, 188(%esp)                            #15.4
331     cmpl   172(%esp), %edx                            #15.4
332     jb     ..B1.14          # Prob 99%                #15.4
333                                     # LOE edx dl dh
334 ..B1.23:                                     # Preds ..B1.22
335     movl    %edx, %edi                                #
336     lea    1(%edi,4), %ebx                             #15.4
337     movl    184(%esp), %edx                            #
338     movl    152(%esp), %esi                            #
339     movdqa .L_2il0floatpacket.1, %xmm0                #
340                                     # LOE edx ebx esi xmm0
341 ..B1.24:                                     # Preds ..B1.23 ..B1.61
342     movl    220(%esp), %ecx                            #
343     lea    -1(%ebx), %edi                              #15.4
344     imull   $9600, %edi, %eax                          #
345     cmpl   196(%esp), %ebx                            #15.4
346     lea    (%ecx,%eax), %ecx                          #
347     ja     ..B1.36          # Prob 0%                #15.4
348                                     # LOE eax edx ecx esi edi xmm0
349 ..B1.25:                                     # Preds ..B1.24
350     movl    %edi, 180(%esp)                            #
351     lea    (%esi,%edx,8), %ebx                         #
352     addl    %ebx, %eax                                  #
353     imull   $19200, %edx, %ebx                         #
354     addl    176(%esp), %ebx                           #
355     movl    %ebx, 228(%esp)                            #
356     movl    %edx, 184(%esp)                            #
357     movl    244(%esp), %ebx                           #
358                                     # LOE eax ecx ebx xmm0
359 ..B1.26:                                     # Preds ..B1.34 ..B1.25
360     cmpl   $8, %ebx                                    #16.7
361     jb     ..B1.59          # Prob 10%              #16.7
362                                     # LOE eax ecx ebx xmm0
363 ..B1.27:                                     # Preds ..B1.26

```



```

364      movd      matrix_multiplication_$C.0.1(%eax), %xmm5      #17.34
365      movl      %ebx, %esi                                       #16.7
366      movd      4+matrix_multiplication_$C.0.1(%eax), %xmm1    #17.34
367      xorl      %edx, %edx                                       #16.7
368      pshufd   $0, %xmm5, %xmm5                                  #17.34
369      pshufd   $0, %xmm1, %xmm4                                  #17.34
370      movdqa   %xmm5, %xmm3                                       #17.32
371      movdqa   %xmm4, %xmm6                                       #17.32
372      psrlq    $32, %xmm3                                       #17.32
373      movl      228(%esp), %edi                                    #17.32
374      psrlq    $32, %xmm6                                       #17.32
375
376      ..B1.28:
377      movdqa   matrix_multiplication_$B.0.1(%edi,%edx,4), %xmm7 #17.25
378      movdqa   %xmm5, %xmm2                                       #17.32
379      pmuludq  %xmm7, %xmm2                                       #17.32
380      psrlq    $32, %xmm7                                       #17.32
381      pmuludq  %xmm3, %xmm7                                       #17.32
382      pand     %xmm0, %xmm2                                       #17.32
383      psllq    $32, %xmm7                                       #17.32
384      movdqa   960+matrix_multiplication_$B.0.1(%edi,%edx,4), %xmm1 #17.25
385      por      %xmm7, %xmm2                                       #17.32
386      movdqa   %xmm4, %xmm7                                       #17.32
387      pmuludq  %xmm1, %xmm7                                       #17.32
388      psrlq    $32, %xmm1                                       #17.32
389      pmuludq  %xmm6, %xmm1                                       #17.32
390      pand     %xmm0, %xmm7                                       #17.32
391      psllq    $32, %xmm1                                       #17.32
392      paddd   matrix_multiplication_$A.0.1(%ecx,%edx,4), %xmm2 #17.7
393      por      %xmm1, %xmm7                                       #17.32
394      paddd   %xmm7, %xmm2                                       #17.7
395      movdqa   %xmm5, %xmm1                                       #17.32
396      movdqa   %xmm2, matrix_multiplication_$A.0.1(%ecx,%edx,4) #17.7
397      movdqa   16+matrix_multiplication_$B.0.1(%edi,%edx,4), %xmm2 #17.25
398      pmuludq  %xmm2, %xmm1                                       #17.32
399      psrlq    $32, %xmm2                                       #17.32
400      pmuludq  %xmm3, %xmm2                                       #17.32
401      pand     %xmm0, %xmm1                                       #17.32
402      psllq    $32, %xmm2                                       #17.32
403      movdqa   9616+matrix_multiplication_$B.0.1(%edi,%edx,4), %xmm7 #17.25
404      por      %xmm2, %xmm1                                       #17.32
405      movdqa   %xmm4, %xmm2                                       #17.32
406      pmuludq  %xmm7, %xmm2                                       #17.32
407      psrlq    $32, %xmm7                                       #17.32
408      pmuludq  %xmm6, %xmm7                                       #17.32
409      pand     %xmm0, %xmm2                                       #17.32
410      psllq    $32, %xmm7                                       #17.32
411      paddd   16+matrix_multiplication_$A.0.1(%ecx,%edx,4), %xmm1 #17.7
412      por      %xmm7, %xmm2                                       #17.32
413      paddd   %xmm2, %xmm1                                       #17.7
414      movdqa   %xmm1, 16+matrix_multiplication_$A.0.1(%ecx,%edx,4) #17.7
415      addl     $8, %edx                                       #16.7
416      cmpl     %ebx, %edx                                       #16.7
417      jb      ..B1.28      # Prob 99%      #16.7
418
419      ..B1.30:
420      cmpl     %ebx, %esi                                       #16.7
421      jae     ..B1.34      # Prob 0%      #16.7

```

```

422                                     # LOE eax ecx ebx esi xmm0
423 ..B1.31:                             # Preds ..B1.30
424     movl    4+matrix_multiplication_$C.0.1(%eax), %edi    #17.34
425     movl    %edi, 248(%esp)                                #17.34
426     movl    matrix_multiplication_$C.0.1(%eax), %edx      #17.34
427     movl    %eax, 224(%esp)                                #17.34
428     movl    228(%esp), %edi                                #17.34
429                                     # LOE edx ecx esi edi xmm0
430 ..B1.32:                             # Preds ..B1.32 ..B1.31
431     movl    matrix_multiplication_$B.0.1(%edi,%esi,4), %ebx #17.25
432     imull   %edx, %ebx                                     #17.32
433     movl    9600+matrix_multiplication_$B.0.1(%edi,%esi,4), %eax #17.25
434     imull   248(%esp), %eax                               #17.32
435     addl    matrix_multiplication_$A.0.1(%ecx,%esi,4), %ebx #17.7
436     addl    %eax, %ebx                                    #17.7
437     movl    %ebx, matrix_multiplication_$A.0.1(%ecx,%esi,4) #17.7
438     incl    %esi                                          #16.7
439     cmpl   244(%esp), %esi                                #16.7
440     jb     ..B1.32    # Prob 99%                          #16.7
441                                     # LOE edx ecx esi edi xmm0
442 ..B1.33:                             # Preds ..B1.32
443     movl    224(%esp), %eax                                #
444     movl    244(%esp), %ebx                                #
445                                     # LOE eax ecx ebx xmm0
446 ..B1.34:                             # Preds ..B1.30 ..B1.33
447     movl    180(%esp), %edx                                #15.4
448     addl    $9600, %eax                                    #15.4
449     incl    %edx                                          #15.4
450     addl    $9600, %ecx                                    #15.4
451     movl    %edx, 180(%esp)                                #15.4
452     cmpl   196(%esp), %edx                                #15.4
453     jb     ..B1.26    # Prob 99%                          #15.4
454                                     # LOE eax ecx ebx xmm0
455 ..B1.35:                             # Preds ..B1.34
456     movl    184(%esp), %edx                                #
457     movl    152(%esp), %esi                                #
458                                     # LOE edx esi xmm0
459 ..B1.36:                             # Preds ..B1.24 ..B1.35
460     incl    %edx                                          #14.3
461     cmpl   144(%esp), %edx                                #14.3
462     jb     ..B1.12    # Prob 99%                          #14.3
463                                     # LOE edx esi xmm0
464 ..B1.37:                             # Preds ..B1.36
465     movl    160(%esp), %eax                                #
466     lea    1(%edx,%edx), %edx                             #14.3
467     movl    %edx, 132(%esp)                                #14.3
468                                     # LOE eax xmm0
469 ..B1.38:                             # Preds ..B1.37 ..B1.62
470     movl    132(%esp), %edx                                #14.3
471     cmpl   128(%esp), %edx                                #14.3
472     ja     ..B1.51    # Prob 0%                            #14.3
473                                     # LOE eax edx dl dh xmm0
474 ..B1.39:                             # Preds ..B1.38
475     cmpl   $0, 196(%esp)                                  #15.4
476     jbe    ..B1.51    # Prob 0%                            #15.4
477                                     # LOE eax edx dl dh xmm0
478 ..B1.40:                             # Preds ..B1.39
479     movl    %eax, %ecx                                    #16.7

```

```

480     movl    $512, %esi                #16.7
481     shll   $9, %ecx                  #16.7
482     xorl   %ebx, %ebx                #
483     negl   %ecx                      #16.7
484     addl   $2400, %ecx               #16.7
485     movl   152(%esp), %edi           #
486     cmpl   $512, %ecx               #16.7
487     cmovae %esi, %ecx               #16.7
488     movl   %eax, 160(%esp)           #
489     lea   (%edi,%edx,4), %esi        #
490     movl   %esi, 216(%esp)          #
491     movl   %eax, %esi                #
492     shll   $11, %esi                #
493     imull  $9600, %edx, %edx         #
494     movl   156(%esp), %edi           #
495     addl   %esi, %edi                #
496     addl   148(%esp), %esi          #
497     addl   %edx, %esi                #
498     xorl   %edx, %edx                #
499     movl   %edi, 212(%esp)          #
500     movl   %esi, 208(%esp)          #
501                                     # LOE edx ecx ebx xmm0
502 ..B1.41:                             # Preds ..B1.49 ..B1.40
503     cmpl   $16, %ecx                #16.7
504     jb     ..B1.58                   # Prob 10%      #16.7
505                                     # LOE edx ecx ebx xmm0
506 ..B1.42:                             # Preds ..B1.41
507     movl   216(%esp), %edi           #17.34
508     movl   %ecx, %eax                #16.7
509     movl   %ebx, 192(%esp)           #17.32
510     xorl   %esi, %esi                #16.7
511     movl   208(%esp), %ebx           #17.32
512     movd  -4+matrix_multiplication_$C.0.1(%edx,%edi), %xmm1 #17.34
513     movl   212(%esp), %edi           #
514     pshufd $0, %xmm1, %xmm1         #17.34
515     movdqa %xmm1, %xmm2              #17.32
516     psrlq  $32, %xmm2                #17.32
517     addl   %edx, %edi                #
518                                     # LOE eax edx ecx ebx esi edi xmm0 xmm1 xmm2
519 ..B1.43:                             # Preds ..B1.43 ..B1.42
520     movdqa -9600+matrix_multiplication_$B.0.1(%ebx,%esi,4), %xmm3 #17.25
521     movdqa %xmm1, %xmm4              #17.32
522     pmuludq %xmm3, %xmm4            #17.32
523     psrlq  $32, %xmm3                #17.32
524     pmuludq %xmm2, %xmm3            #17.32
525     movdqa -9584+matrix_multiplication_$B.0.1(%ebx,%esi,4), %xmm5 #17.25
526     movdqa %xmm1, %xmm6              #17.32
527     pmuludq %xmm5, %xmm6            #17.32
528     psrlq  $32, %xmm5                #17.32
529     pmuludq %xmm2, %xmm5            #17.32
530     pand   %xmm0, %xmm4              #17.32
531     psllq  $32, %xmm3                #17.32
532     por    %xmm3, %xmm4              #17.32
533     pand   %xmm0, %xmm6              #17.32
534     padd   matrix_multiplication_$A.0.1(%edi,%esi,4), %xmm4 #17.7
535     psllq  $32, %xmm5                #17.32
536     movdqa %xmm4, matrix_multiplication_$A.0.1(%edi,%esi,4) #17.7
537     por    %xmm5, %xmm6              #17.32

```

```

538     movdqa    -9568+matrix_multiplication_$B.0.1(%ebx,%esi,4), %xmm7 #17.25
539     movdqa    %xmm1, %xmm3 #17.32
540     movdqa    -9552+matrix_multiplication_$B.0.1(%ebx,%esi,4), %xmm4 #17.25
541     movdqa    %xmm1, %xmm5 #17.32
542     pmuludq   %xmm7, %xmm3 #17.32
543     psrlq     $32, %xmm7 #17.32
544     pmuludq   %xmm4, %xmm5 #17.32
545     pmuludq   %xmm2, %xmm7 #17.32
546     psrlq     $32, %xmm4 #17.32
547     pand      %xmm0, %xmm3 #17.32
548     pmuludq   %xmm2, %xmm4 #17.32
549     psllq     $32, %xmm7 #17.32
550     pand      %xmm0, %xmm5 #17.32
551     psllq     $32, %xmm4 #17.32
552     por       %xmm7, %xmm3 #17.32
553     por       %xmm4, %xmm5 #17.32
554     padd      16+matrix_multiplication_$A.0.1(%edi,%esi,4), %xmm6 #17.7
555     padd      32+matrix_multiplication_$A.0.1(%edi,%esi,4), %xmm3 #17.7
556     padd      48+matrix_multiplication_$A.0.1(%edi,%esi,4), %xmm5 #17.7
557     movdqa    %xmm6, 16+matrix_multiplication_$A.0.1(%edi,%esi,4) #17.7
558     movdqa    %xmm3, 32+matrix_multiplication_$A.0.1(%edi,%esi,4) #17.7
559     movdqa    %xmm5, 48+matrix_multiplication_$A.0.1(%edi,%esi,4) #17.7
560     addl      $16, %esi #16.7
561     cmpl      %ecx, %esi #16.7
562     jb        ..B1.43 # Prob 99% #16.7
563                                     # LOE eax edx ecx ebx esi edi xmm0 xmm1 xmm2
564 ..B1.44: # Preds ..B1.43
565     movl      192(%esp), %ebx #
566                                     # LOE eax edx ecx ebx xmm0
567 ..B1.45: # Preds ..B1.44 ..B1.58
568     cmpl      %ecx, %eax #16.7
569     jae       ..B1.49 # Prob 0% #16.7
570                                     # LOE eax edx ecx ebx xmm0
571 ..B1.46: # Preds ..B1.45
572     movl      216(%esp), %esi #17.34
573     movl      212(%esp), %edi #
574     movl      %ebx, 192(%esp) #
575     movl      -4+matrix_multiplication_$C.0.1(%edx,%esi), %esi #17.34
576     movl      %edx, 204(%esp) #
577     addl      %edx, %edi #
578     movl      208(%esp), %ebx #
579                                     # LOE eax ecx ebx esi edi xmm0
580 ..B1.47: # Preds ..B1.47 ..B1.46
581     movl      -9600+matrix_multiplication_$B.0.1(%ebx,%eax,4), %edx #17.25
582     imull     %esi, %edx #17.32
583     addl      %edx, matrix_multiplication_$A.0.1(%edi,%eax,4) #17.7
584     incl      %eax #16.7
585     cmpl      %ecx, %eax #16.7
586     jb        ..B1.47 # Prob 99% #16.7
587                                     # LOE eax ecx ebx esi edi xmm0
588 ..B1.48: # Preds ..B1.47
589     movl      204(%esp), %edx #
590     movl      192(%esp), %ebx #
591                                     # LOE edx ecx ebx xmm0
592 ..B1.49: # Preds ..B1.48 ..B1.45
593     incl      %ebx #15.4
594     addl      $9600, %edx #15.4
595     cmpl      196(%esp), %ebx #15.4

```

```

596         jb          ..B1.41          # Prob 99%          #15.4
597                                     # LOE edx ecx ebx xmm0
598 ..B1.50:                                     # Preds ..B1.49
599         .byte      141                #
600         .byte      118                #
601         .byte      0                  #
602         movl       160(%esp), %eax     #
603                                     # LOE eax xmm0
604 ..B1.51:                                     # Preds ..B1.50 ..B1.38 ..B1.39
605         incl       %eax                #14.3
606         cmpl      $5, %eax            #14.3
607         jb          ..B1.10          # Prob 99%          #14.3
608                                     # LOE eax xmm0
609 ..B1.52:                                     # Preds ..B1.51
610         movl       200(%esp), %eax     #14.3
611         incl       %eax                #14.3
612         movl       %eax, 200(%esp)     #14.3
613         cmpl      $5, %eax            #14.3
614         jb          ..B1.8           # Prob 99%          #14.3
615                                     # LOE xmm0
616 ..B1.53:                                     # Preds ..B1.52
617         movl       164(%esp), %edx     #
618         movl       $512, %eax         #
619         incl       %edx                #14.3
620         cmpl      $5, %edx            #14.3
621         jb          ..B1.7           # Prob 99%          #14.3
622                                     # LOE eax edx xmm0
623 ..B1.54:                                     # Preds ..B1.53
624         movl       136(%esp), %esi     #
625         movl       140(%esp), %edi     #
626         addl      $4, %esp            #21.8
627         lea       168(%esp), %eax     #21.17
628         pushl     %eax                #21.8
629         call      for_cpusec         #21.8
630                                     # LOE esi edi
631 ..B1.55:                                     # Preds ..B1.54
632         movss     172(%esp), %xmm0     #22.3
633         movl      $0, 128(%esp)        #23.3
634         movl      $10, 160(%esp)       #23.3
635         movl      $.L_2_STRLITPACK_0, 164(%esp) #23.3
636         subss     168(%esp), %xmm0     #22.3
637         movss     %xmm0, 176(%esp)     #22.3
638         addl      $24, %esp            #23.3
639         lea       104(%esp), %ebx      #23.3
640         lea       136(%esp), %eax     #23.3
641         pushl     $32                  #23.3
642         pushl     %eax                #23.3
643         pushl     $.L_2_STRLITPACK_1.0.1 #23.3
644         pushl     $-2088435968        #23.3
645         pushl     $-1                  #23.3
646         pushl     %ebx                #23.3
647         call      for_write_seq_lis   #23.3
648                                     # LOE ebx esi edi
649 ..B1.56:                                     # Preds ..B1.55
650         movss     176(%esp), %xmm0     #23.3
651         movss     %xmm0, 184(%esp)     #23.3
652         addl      $12, %esp            #23.3
653         lea       172(%esp), %eax     #23.3

```


ASSINATURAS

Cristian Fernando Flores Castañeda

Prof. Dr. Nicolas Maillard

REFERÊNCIAS

- AHO, A. V.; SETHI, R.; ULLMAN, J. D. **Compilers. Principles, Techniques and Tools.** [S.l.]: Addison Wesley, 1986.
- AMBLER, S. W.; SADALAGE, P. J. **Refactoring Databases: evolutionary database design.** [S.l.]: Addison-Wesley, 2006.
- ASTELS, D. Refactoring with UML. In: INT’L CONF. EXTREME PROGRAMMING AND FLEXIBLE PROCESSES IN SOFTWARE ENGINEERING XP, 2002. **Proceedings...** [S.l.: s.n.], 2002. p.67–70. Alghero, Sardinia, Italy.
- BACON, D. F.; GRAHAM, S. L.; SHARP, O. J. Compiler transformations for high-performance computing. **ACM Comput. Surv.**, New York, NY, USA, v.26, p.345–420, December 1994.
- BEATON, W.; RIVIERES, J. **Eclipse Platform Technical Overview.** [S.l.]: The Eclipse Foundation, 2006.
- BEVERLY SANDERS ERIK DEUMENS, V. L.; PONTON, M. Refactoring a Language for Parallel Computational Chemistry. In: SECOND WORKSHOP ON REFACTORING TOOLS, 2008. **Anais...** [S.l.: s.n.], 2008.
- BOEHM, A. M.; SEIPEL, D.; SICKMANN, A.; WETZKA, M. Squash: a tool for analyzing, tuning and refactoring relational database applications. In: APPLICATIONS OF DECLARATIVE PROGRAMMING AND KNOWLEDGE MANAGEMENT: 17TH INTERNATIONAL CONFERENCE, INAP 2007, AND 21ST WORKSHOP ON LOGIC PROGRAMMING, WLP 2007, WÜRZBURG, GERMANY, OCTOBER 4-6, 2007, REVISED SELECTED PAPERS, 2009, Berlin, Heidelberg. **Anais...** Springer-Verlag, 2009. p.82–98.
- BOGER, M.; STURM, T.; FRAGEMANN, P. Refactoring Browser for UML. In: OBJECTS, COMPONENTS, ARCHITECTURES, SERVICES, AND APPLICATIONS FOR A NETWORKEDWORLD: INTERNATIONAL CONFERENCE NETOBJECTSDAYS, NODE 2002, SPRINGER-VERLAG LNCS 2591/2003, 2002. **Anais...** [S.l.: s.n.], 2002. p.77–81.
- BOIS, B. D. **A Study of Quality Improvements by refactoring.** 2006. Tese (Doutorado em Ciência da Computação) — University of Antwerp.
- BONIATI, B. B.; CHARAO, A. S. Refatoração de Programas Fortran de Alto Desempenho. In: ESCOLA REGIONAL DE ALTO DESEMPENHO, 2008, Santa Cruz do Sul, Brasil. **Anais...** [S.l.: s.n.], 2008.

CARR, S.; DING, C.; SWEANY, P. Improving Software Pipelining With Unroll-and-Jam. In: IN PROCEEDINGS OF THE 29TH ANNUAL HAWAII INTERNATIONAL CONFERENCE ON SYSTEM SCIENCES, MAUI, HI, 1996. **Anais...** [S.l.: s.n.], 1996. p.183–192.

CARR, S.; GUAN, Y. Unroll-and-Jam Using Uniformly Generated Sets. In: IN PROCEEDINGS OF THE 30TH ANNUAL IEEE/ACM INTERNATIONAL SYMPOSIUM ON MICROARCHITECTURE (MICRO, 1997. **Anais...** IEEE Computer Society, 1997. p.349–357.

CARR, S.; KENNEDY, K. Improving the ratio of memory operations to floating-point operations in loops. **ACM Trans. Program. Lang. Syst.**, New York, NY, USA, v.16, n.6, p.1768–1810, 1994.

CHEN, L.; XU, B.; ZHOU, T.; ZHOU, Y. Applying Generalization Refactoring to Java Generic Programs. In: WSCS '08: PROCEEDINGS OF THE IEEE INTERNATIONAL WORKSHOP ON SEMANTIC COMPUTING AND SYSTEMS, 2008, Washington, DC, USA. **Anais...** IEEE Computer Society, 2008. p.35–39.

CHEN N., O. J. **Photran 7.0 Developer's Guide**. [S.l.: s.n.], 2010.

CRAWFORD, I. L.; WADLEIGH, K. R. **Software Optimization for High Performance Computers**. Upper Saddle River, NJ, USA: Prentice Hall PTR, 2000.

DE, V. **A Foundation for Refactoring Fortran 90 in Eclipse**. EUA: Urbana-Champaign, 2004.

DONGARRA, J.; LUSZCZEK, P.; PETITET, A. The LINPACK Benchmark: past, present and future. **Concurrency and Computation: Practice and Experience**, [S.l.], v.15, n.9, p.803–820, 2003.

DUCASSE, S.; RIEGER, M.; DEMEYER, S. A language independent approach for detecting duplicated code. In: INTERNATIONAL CONFERENCE ON SOFTWARE MAINTENANCE, 1999. **Proceedings...** [S.l.: s.n.], 1999. p.109–118.

ETTINGER, R. Refactoring via Program Slicing and Sliding. In: ICSM, 2007. **Anais...** [S.l.: s.n.], 2007. p.505–506.

F. IRIGOIN, P. J.; TRIOLET, R. **Semantical Interprocedural Parallelization**: an overview of the pips project. Cologne, 1991.

FANTA, R.; RAJLICH, V. Restructuring legacy C code into C++. In: INT'L CONF. SOFTWARE MAINTENANCE (ICSM), 1999. **Proceedings...** IEEE Computer Society Press, 1999. p.77–85.

FAZENDA, A. L.; DEMERVAL, S. M.; ENARI, E. H.; PANETTA, J.; RODRIGUES, L. F. **First Time User Guide (BRAMS Version 4.2)**. 2011.

FOWLER, M. **Refactoring**: improving the design of existing code. Boston, MA, USA: Addison-Wesley, 1999.

GARRIDO, A.; JOHNSON, R. Challenges of refactoring C programs. In: IWPSE '02: PROCEEDINGS OF THE INTERNATIONAL WORKSHOP ON PRINCIPLES OF SOFTWARE EVOLUTION, 2002, New York, NY, USA. **Anais...** ACM, 2002. p.6–14.

GARRIDO, A.; JOHNSON, R. Refactoring C with Conditional Compilation. **Automated Software Engineering, International Conference on**, Los Alamitos, CA, USA, v.0, p.323, 2003.

GOUGH, B. J.; STALLMAN, R. M. **An Introduction to GCC**. [S.l.]: Network Theory Ltd., 2004.

GRAF, E.; ZGRAGGEN, G.; SOMMERLAD, P. Refactoring support for the C++ development tooling. In: COMPANION TO THE 22ND ACM SIGPLAN CONFERENCE ON OBJECT-ORIENTED PROGRAMMING SYSTEMS AND APPLICATIONS COMPANION, 2007, New York, NY, USA. **Anais...** ACM, 2007. p.781–782. (OOPSLA '07).

GRISWOLD, W. G.; CHEN, M. I.; BOWDIDGE, R. W.; MORGENTHALER, J. D. Tool support for planning the restructuring of data abstractions in large systems. **SIGSOFT Softw. Eng. Notes**, New York, NY, USA, v.21, p.33–45, October 1996.

HERMANNNS, M. **Parallel Programming in Fortran 95 using OpenMP**. [S.l.: s.n.], 2002.

JOHNSON, R.; FOOTE, B.; OVERBEY, J.; XANTHOS, S. **Changing the Face of High-Performance Fortran Code**. 2005.

JONES, T. **Conhecendo o GCC 4**. [S.l.]: Emulex Corporation, 2008.

KERIEVSKY, J. **Refactoring to Patterns**. [S.l.]: Addison-Wesley, 2004.

KIEZUN, A.; ERNST, M. D.; TIP, F.; FUHRER, R. M. Refactoring for Parameterizing Java Classes. In: ICSE '07: PROCEEDINGS OF THE 29TH INTERNATIONAL CONFERENCE ON SOFTWARE ENGINEERING, 2007, Washington, DC, USA. **Anais...** IEEE Computer Society, 2007. p.437–446.

KOFFMANN, E.; FRIEDMAN, F. **Fortran**. [S.l.]: Addison Wesley, 2006.

KOSEKI, A.; KOMASTU, H.; FUKAZAWA, Y. A method for estimating optimal unrolling times for nested loops. In: ISPAN '97: PROCEEDINGS OF THE 1997 INTERNATIONAL SYMPOSIUM ON PARALLEL ARCHITECTURES, ALGORITHMS AND NETWORKS (ISPAN, 1997. **Anais...** IEEE CS Press, 1997. p.376.

LEE B., S. D. **Eclipse Project CDT (C/C++) Plugin Tutorial**. 2004.

LI, H. **Refactoring Haskell Programs**. 1992.

LI, H.; THOMPSON, S. Tool support for refactoring functional programs. In: PEPM '08: PROCEEDINGS OF THE 2008 ACM SIGPLAN SYMPOSIUM ON PARTIAL EVALUATION AND SEMANTICS-BASED PROGRAM MANIPULATION, 2008, New York, NY, USA. **Anais...** ACM, 2008. p.199–203.

LIU, J.; BATORY, D.; LENGAUER, C. Feature oriented refactoring of legacy applications. In: ICSE '06: PROCEEDINGS OF THE 28TH INTERNATIONAL CONFERENCE ON SOFTWARE ENGINEERING, 2006, New York, NY, USA. **Anais...** ACM, 2006. p.112–121.

MATTHIAS RIEGER BART VAN ROMPAEY, K. M.; LIEVIER, P. Refactoring for Performance: an experience report. In: THIRD INTERNATIONAL ERCIM SYMPOSIUM ON SOFTWARE EVOLUTION, 2007. **Anais...** [S.l.: s.n.], 2007.

MENS, T.; DEMEYER, S.; BOIS, B. D.; STENTEN, H.; GORP, P. V. Refactoring: current research and future trends. **Electronic Notes in Theoretical Computer Science**, [S.l.], v.82, n.3, p.483–499, December 2003.

MENS, T.; TAENTZER, G.; RUNGE, O. Analyzing Refactoring Dependencies Using Graph Transformation. **Software and Systems Modeling**, [S.l.], 2007.

MENS, T.; TOURWÉ, T. A Survey of Software Refactoring. **IEEE Trans. Softw. Eng.**, Piscataway, NJ, USA, v.30, n.2, p.126–139, 2004.

MURPHY-HILL, E.; BLACK, A. P. Breaking the barriers to successful refactoring: observations and tools for extract method. In: ICSE '08: PROCEEDINGS OF THE 30TH INTERNATIONAL CONFERENCE ON SOFTWARE ENGINEERING, 2008, New York, NY, USA. **Anais...** ACM, 2008. p.421–430.

NOVILLO, D. GCC - An Architectural Overview, Current Status, and Future Directions. In: LINUX SYMPOSIUM, 2006, Ottawa, Canada. **Anais...** [S.l.: s.n.], 2006. p.187–199.

NYHOFF, L.; LEESTMA, S. **Fortran 90 for Engineers and Scientists**. [S.l.]: Prentice-Hall, 1997.

OPDYKE, W. F. **Refactoring object-oriented frameworks**. 1992. Tese (Doutorado em Ciência da Computação) — , Champaign, IL, USA.

OVERBEY, J. L.; JOHNSON, R. E. Generating Rewritable Abstract Syntax Trees. In: SOFTWARE LANGUAGE ENGINEERING: FIRST INTERNATIONAL CONFERENCE, SLE 2008, TOULOUSE, FRANCE, SEPTEMBER 29-30, 2008. REVISED SELECTED PAPERS, 2009, Berlin, Heidelberg. **Anais...** Springer-Verlag, 2009. p.114–133.

OVERBEY, J. L.; NEGARA, S.; JOHNSON, R. E. Refactoring and the evolution of Fortran. In: SECSE '09: PROCEEDINGS OF THE 2009 ICSE WORKSHOP ON SOFTWARE ENGINEERING FOR COMPUTATIONAL SCIENCE AND ENGINEERING, 2009, Washington, DC, USA. **Anais...** IEEE Computer Society, 2009. p.28–34.

OVERBEY, J.; XANTHOS, S.; JOHNSON, R.; FOOTE, B. Refactorings for Fortran and high-performance computing. In: SE-HPCS '05: PROCEEDINGS OF THE SECOND INTERNATIONAL WORKSHOP ON SOFTWARE ENGINEERING FOR HIGH PERFORMANCE COMPUTING SYSTEM A APPLICATIONS, 2005, New York, NY, USA. **Anais...** ACM, 2005. p.37–39.

RASMUSSEN, C. E.; SQUYRES, J. M. A Case for New MPI Fortran Bindings. In: EUROPEAN PVM/MPI USERS' GROUP MEETING, 12., 2005, Sorrento, Italy. **Proceedings...** [S.l.: s.n.], 2005.

RATZINGER, J.; FISCHER, M. Improving evolvability through refactoring. In: IN MSR '05: PROCEEDINGS OF THE 2005 INTERNATIONAL WORKSHOP ON MINING SOFTWARE REPOSITORIES, 2005. **Anais...** ACM Press, 2005. p.1–5.

RISSETI, G.; CHARAO, A. S. **Catálogo de Refatorações para a Evolução de Programas em Linguagem Fortran**. 2011. Dissertação (Mestrado em Ciência da Computação) — Universidade Federal de Santa Maria.

ROBERTS, D.; BRANT, J.; JOHNSON, R. A refactoring tool for Smalltalk. **Theor. Pract. Object Syst.**, New York, NY, USA, v.3, n.4, p.253–263, 1997.

ROBERTS, D.; BRANT, J.; JOHNSON, R.; OPDYKE, B. An Automated Refactoring Tool. In: ICAST 1996, CHICAGO, IL, 1996. **Proceedings...** [S.l.: s.n.], 1996.

SEREBRENIK, A.; SCHRIJVERS, T.; DEMOEN, B. Improving prolog programs: refactoring for prolog. **Theory Pract. Log. Program.**, New York, NY, USA, v.8, n.2, p.201–215, 2008.

SILBER, G.-A.; DARTE, A. **The Nestor library**: a tool for implementing fortran source to source transformations. 1998.

SONG, Y.; LIN, Y. Unroll-and-jam for imperfectly-nested loops in DSP applications. In: COMPILERS, ARCHITECTURE, AND SYNTHESIS FOR EMBEDDED SYSTEMS, 2000., 2000, New York, NY, USA. **Proceedings...** ACM, 2000. p.148–156. (CASES '00).

STALLMAN, R. **The GCC Internals manual**. [S.l.]: Free Software Foundation, 2011.

STROGGYLOS, K.; SPINELLIS, D. Refactoring: does it improve software quality? In: INTERNATIONAL WORKSHOP ON SOFTWARE QUALITY, 5., 2007. **Anais...** ACM Press, 2007. p.1–6.

VAN DE VANTER, M. L.; POST, D. E.; ZOSEL, M. E. HPC needs a tool strategy. In: SE-HPCS '05: PROCEEDINGS OF THE SECOND INTERNATIONAL WORKSHOP ON SOFTWARE ENGINEERING FOR HIGH PERFORMANCE COMPUTING SYSTEM APPLICATIONS, 2005, New York, NY, USA. **Anais...** ACM, 2005. p.55–59.

VICHARE, A. **The Conceptual Structure of GCC**. [S.l.]: Indian Institute of Technology, 2008.

WALKO, R. L.; AVISSAR, R. The Ocean-Land-Atmosphere Model (OLAM). Part I: shallow-water tests. **Monthly Weather Review**, [S.l.], v.136, n.11, p.4033–4044, 2008.

WATSON, G. R.; DEBARDELEBEN, N. A. Developing Scientific Applications Using Eclipse. **Computing in Science and Engineering**, Los Alamitos, CA, USA, v.8, n.4, p.50–61, 2006.

WOLFE, M. **High Performance Compilers For Parallel Computing**. Redwood City, CA, USA: Addison-Wesley Publishing Company, 1996.

ZINGIRIAN, N.; MARESCA, M. Finding the Optimal Unroll-and-Jam. In: HPCN EUROPE '99: PROCEEDINGS OF THE 7TH INTERNATIONAL CONFERENCE ON HIGH-PERFORMANCE COMPUTING AND NETWORKING, 1999, London, UK. **Anais...** Springer-Verlag, 1999. p.633–642.